



Evaluation of Ethyl Oleate, Sodium Chloride and Blanching Pretreatments on Vacuum Drying of Sweet Pepper (*Capsicum annuum*)

N. Alirezaloo¹, N. Asefi^{2*}, P. Barman Veisi³, H. Soraiyay Zafar⁴

Received: 2021-05-02

Revised: 2021-06-07

Accepted: 2021-07-17

Available Online: 2021-09-15

How to cite this article:

Alirezaloo, N., Asefi, N., Barman Veisi, P., & Soraiyay Zafar, H. (2023). Evaluation of ethyl oleate, sodium chloride and blanching pretreatments on vacuum drying of sweet pepper (*Capsicum annuum*). *Iranian Food Science and Technology Research Journal*, 19(2), 195-216. (In Persian with English abstract).
<http://doi.org/10.22067/ifstrj.2021.70205.1040>

Introduction

Sweet Pepper (*Capsicum annuum*) has a very important place among the vegetables produced in the world. Therefore, it is necessary to apply practical solutions to increase their sustainability to develop and improve production. The growing consumer rejection of chemical additives and the demand for more natural products have increased attention to some methods, including the drying method. One of the physical changes that occur during the drying of food is its reduction in volume. Vacuum drying is a method in which water and other solvents that have been absorbed into the volume or surface of the material are removed. Combining vacuum with heating can be an effective way to dry; because in this case, a high level of dryness can be achieved without the need for a large increase in temperature. A thermal process that is applied to vegetables and fruits as a pre-process step for freezing, drying and canning to inactivating enzymes, modifying texture, preserving flavor and nutrients, and extracting Interstitial air.

Materials and Methods

This study aimed to investigate the impact of various factors ethyl oleate (concentrations 0,2,4%), sodium chloride (concentrations 0,2,4%) and blanching on the drying kinetics, physical properties, chemical composition and nutrients of green bell pepper, dried under vacuum at 60°C and pressure of 10 kpa using the response surface methodology. At the end of the drying time, 10 g of the treated samples were weighted to investigate the drying kinetics and the rest of the samples were kept for analysis. To achieve the drying kinetics, the samples were taken out of the oven (Behdad Company, model 3494, made in Iran) at 30 minute intervals and weighed by a digital scale, and dried down to moisture content of 12% ., and then for relevant analyzes on dried samples, the samples were stored in plastic packages until the day of experiments. Investigation of independent and interaction effects of immersion in different concentrations of sodium chloride and ethyl oleate solution on the kinetics and drying time separately in blanching and non-blanching samples on the parameters of color, chlorophyll content, phenolic substances and vitamin C remaining in dried Sweet peppers were evaluated using minitab16 software and response level method (RSM).

Results and Discussion

The results showed that the drying process occur in the range of falling rate and also effect blanching in boiling water for 3 minutes and immersed in an alkaline solution of ethyl oleate and sodium chloride with concentrations of 2 and 4% for 1 minute, significantly increase the drying rate. In blanching and treated samples with 4% ethyl oleate and sodium chloride, the drying time was about 3.5 hours, while the control sample was dried under the same conditions for 7.5 hours.

1, 2 and 3- M.Sc., Associate Professor and Ph.D. Students, Department of Food Science and Technology, Islamic Azad University, Tabriz branch, Tabriz, Iran, respectively.

(*- Corresponding Author Email: n.asefi@iaut.ac.ir)

DOI: [10.22067/ifstrj.2021.70205.1040](https://doi.org/10.22067/ifstrj.2021.70205.1040)

Pretreatment of samples, showed the chlorophyll content, phenolic compounds and vitamin C were higher than the control sample. Due to the effectiveness of ethyloleate in the protection of ascorbic acid, phenolic compounds and residual chlorophyll, the highest amount of ascorbic acid with a value of 39.77 was related to the samples treated in ethyloleate solution with a concentration of 4% and 4% NaCl and the minimum value of 17.98 was related to the control treatment. The highest amount of residual chlorophyll was 23.6 in the pretreated samples with a concentration of 4% ethyloleate and 4% NaCl and the lowest amount was related to the control sample with a concentration of 12.9%. The color of the dried samples showed that the lowest amount of color changes was related to the non-blanching sample with 4% ethyloleate and 4% NaCl with a value of 4.94. While the blanching and ethyloleate solution had no positive effect on the color of pepper and dried samples were dark. Comparison of blanching with non-blanching shows that blanching samples cause darkening of the primary color of the samples. The best sample in terms of quality and speed of drying, was belonged to the samples which blanched, treated with 4% solution of ethyloleate and sodium chloride.

Conclusion

In order to achieve the best quality in vacuum drying of pepper samples, pretreatments of blanching and using a concentration of 4% solution of ethyloleate and sodium chloride showed the most desirable quality. The best quality of dried samples were obtained when subjected to constant temperature and pressure during drying conditions. The benefits obtained using the pretreatment of ethyloleate and sodium chloride as an appropriate method of drying include increasing the absorption of water, keeping the chlorophyll, phenolic compounds and vitamin C content with time-saving in drying.

Keywords: Blanching, Ethyl oleate, Response surface methodology, Sodium chloride, Sweet pepper (*Capsicum annum*), Vacuum drying

مقاله پژوهشی

بررسی پیش‌تیمارهای اتیل‌اولئات، کلریدسدیم و آنزیم‌بری بر خشک شدن خلاء فلفل دلمه‌ای

نسبیه علیرضالو^۱ - نارملا آصفی^{۲*} - پویا بارمان ویسی^۳ - هاله ثریای ظفر^۴

تاریخ دریافت: ۱۴۰۰/۰۲/۱۲

تاریخ بازنگری: ۱۴۰۰/۰۳/۱۷

تاریخ پذیرش: ۱۴۰۰/۰۴/۲۶

چکیده

فلفل دلمه‌ای جایگاه بسیار مهمی را در میان صیفی‌جات تولیدی در جهان به خود اختصاص داده است. بنابراین به کارگیری راهکارهای عملی برای افزایش ماندگاری آنها برای توسعه و بهبود تولید، ضروری به نظر می‌رسد. عدم‌پذیرش افزودنی‌های شیمیایی و تقاضا برای محصولات طبیعی‌تر، توجه به برخی روش‌ها از جمله روش خشک کردن را افزایش داده است. هدف از انجام این مطالعه، بررسی تأثیر فاکتورهای مختلف به عنوان پیش‌تیمار شامل آنزیم‌بری با سه روش، آب 100°C به مدت ۳ دقیقه، اتیل‌اولئات (با غلظت‌های ۰، ۲ و ۴ درصد) به مدت ۱ دقیقه، کلریدسدیم (با غلظت‌های ۰، ۲ و ۴ درصد) به مدت ۳ دقیقه و عدم انجام آنزیم‌بری بر سینتیک خشک شدن، خواص فیزیکی، ترکیبات شیمیایی و مواد مغذی فلفل دلمه‌ای سبز، تحت خشک کردن در خلاء در دمای 60°C و فشار ۱۰ kpa با استفاده از روش سطح‌پاسخ است. نتایج نشان داد که کل فرآیند خشک شدن فلفل دلمه‌ای در محدوده سرعت نزولی بوده و همچنین اثر پیش‌تیمارهای آنزیم‌بری در آب 100°C به مدت ۳ دقیقه و غوطه‌وری در محلول قلیایی اتیل‌اولئات و کلریدسدیم با غلظت‌های ۲ و ۴ درصد به مدت ۱ دقیقه، بطور قابل‌توجهی موجب افزایش سرعت خشک شدن شدند. نمونه‌های پیش‌تیمار شده، میزان کلروفیل، ترکیبات فنولی و ویتامین ث بیشتری را نسبت به نمونه کنترل نشان دادند. در حالیکه فرآیند آنزیم‌بری و محلول اتیل‌اولئات تأثیر مثبتی بر رنگ نمونه‌ها نداشته و موجب تیرگی نمونه‌های فلفل خشک شده گردیدند. مطلوب‌ترین نمونه از لحاظ حفظ کیفیت شامل بیشترین میزان کلروفیل، ترکیبات فنولی و ویتامین ث، مربوط به نمونه آنزیم‌بری شده، تیمار شده با غلظت ۴ درصد محلول اتیل‌اولئات و کلریدسدیم بود. بهره‌گیری از پیش‌تیمارهای اتیل‌اولئات و کلریدسدیم را به عنوان روشی مناسب قبل از عمل خشک کردن با مزایایی از جمله حفظ میزان کلروفیل، ترکیبات فنولی و ویتامین ث با صرفه‌جویی در زمان خشک کردن را به اثبات می‌رساند.

واژه‌های کلیدی: آنزیم‌بری، اتیل‌اولئات، خشک کردن تحت خلاء، روش سطح‌پاسخ، فلفل دلمه‌ای، کلریدسدیم

مقدمه

(Perucka, 2005). فلفل دلمه‌ای همچنین گیاهی سرشار از فیبر، پروتئین و آهن می‌باشد. فیبر در غذاهای گیاهی مانند میوه‌ها، سبزی‌ها، غلات کامل و حبوبات یافت می‌شود و بدن برخلاف پروتئین، کربوهیدرات و چربی نمی‌تواند آن را هضم کند و در دستگاه گوارش با اتصال به چربی‌ها و افزایش دفع آن‌ها، موجب کاهش فشارخون و کسترول خون می‌گردد (Materska and Perucka, 2005). فلفل

فلفل دلمه‌ای گیاهی است از خانواده Solanaceae با نام علمی *Capsicum annum* که از صیفی‌جات فصل گرم می‌باشد. فلفل دلمه‌ای سرشار از ویتامین‌های گروه ب مانند تیامین، ریبوفلاوین و ب۶ و ویتامین C و E، پروویتامین A و کارتنوئیدها است که ویتامین‌های مؤثر در تبدیل مواد غذایی به انرژی می‌باشند (Materska and

۱، ۲، ۳ - به ترتیب دانشجوی کارشناسی ارشد، دانشیار و دانشجویان دکتری، گروه علوم و صنایع غذایی، دانشگاه آزاد اسلامی واحد تبریز، تبریز، ایران

* - نویسنده مسئول: (Email: n.asefi@iaut.ac.ir)

آید که انقباض شبکه، چروکیدگی، تغییر شکل و گاهی ترک‌هایی را در سطح محصول همراه دارد. به همین دلیل خشک کردن تحت خلاء، چروکیدگی کمتری را باعث می‌شود (Lee and Kim, 2009).

خشک کردن در خلاء روشی است که در آن آب و دیگر حلال‌هایی که درون حجم یا سطح ماده جذب شده‌اند، زوده می‌شوند. مایعی که قرار است حذف شود می‌تواند بخشی از طبیعت خود ماده باشد، از عملیات قبلی در آن باقی مانده باشد، یا در زمان حل کردن، ترکیب کردن و یا وارد کردن یک ماده شیمیایی در بخشی از فرآیند کلی وارد قطعه مورد نظر شده باشد (Arévalo-Pinedo and Xidieh Murr, 2007). فرآیند خشک کردن تحت خلاء اغلب دارای چندین مرحله اعمال گرمایش یا خلاء می‌باشد. کاهش فشار (اعمال خلاء) در سطح یک مایع مانند آب، امکان تبخیر مایع را بدون بالا بردن دما می‌دهد، تبخیر مایع تا جایی ادامه می‌یابد که قطعه کاملاً خشک شود یا گرمای کافی در طول تبخیر زوده شود تا مایع باقی‌مانده منجمد شود؛ در این نقطه، فرآیند خشک کردن به شکل تصعید ادامه می‌یابد (Lee and Kim, 2009). اغلب از خلاء به عنوان فرآیندی برای حذف بخارات آب و دیگر حلال‌هایی که جذب سطح و حجم ماده شده است، استفاده می‌شود. خلاء به همراه گرمایش می‌تواند روش مؤثری برای خشک کردن باشد؛ زیرا در این حالت سطح بالایی از خشکی بدون نیاز به افزایش زیاد دما قابل دستیابی خواهد بود. به این ترتیب می‌توان مواد حساس به دماهای بالا را در مدت زمان کوتاهی به خوبی خشک کرد (Balzarini et al., 2018). خشک کردن تحت خلاء می‌تواند مانع از اکسید شدن مواد حساسی شود که در معرض هوا امکان اکسید شدن آنها وجود دارد. خشک کردن تحت خلاء هم چنین می‌تواند حلال‌هایی را که از ماده زوده شده است را در صورت لزوم بازیابی کند (Demiray and Çalışkan Koç, 2021).

یکی از روش‌های آنزیم‌بری روش حرارتی است که بر روی سبزیجات و میوه‌ها به عنوان یک پیش فرآیند قبل از انجماد، خشک کردن و کنسرو کردن با اهداف غیرفعال‌سازی آنزیم‌ها، اصلاح بافت، حفظ رنگ طعم و مواد مغذی و خارج ساختن هوای میان بافتی اعمال می‌شود. در این عمل علاوه بر آنزیم‌ها تعدادی زیادی از میکروارگانیسم‌های سطحی نیز از بین می‌روند. مارزوکی و همکاران (Marzuki et al., 2021). سینتیک خشک کردن و کیفیت گوشت سیب‌زمینی شیرین بنفش (PFSP) در معرض خشک کردن با میکروویو تحت خلاء (سطوح مختلف توان، ۴۵۰، ۶۰۰ و ۸۵۰ وات) را مورد بررسی قرار دادند، آنها اثرات پیش‌تیمار آب داغ و بخار را بر ویژگی‌های فیزیکی‌شیمیایی محصولات خشک شده نیز در نظر گرفتند و همچنین برای مقایسه از خشک کردن با هوای گرم با دمای ۷۰ درجه سانتی‌گراد را انجام دادند، نتایج نشان داد که زمان خشک شدن PFSP

دلماه‌ای قرمز ۵۵ تا ۷۵ درصد نیاز روزانه بدن به مواد مغذی مورد نیاز در سلامت استخوان را تأمین می‌نماید. این مسئله به دلیل دارا بودن مقادیر فراوانی از ریزمغذی‌هایی چون: کلسیم، آهن، منیزیم، فسفر، پتاسیم و روی می‌باشد که همگی، از مواد مغذی مورد نیاز در استحکام و حفظ بافت استخوانی می‌باشند (Orikasa et al., 2018). از آنجا که بیشتر محصولات کشاورزی زمان رسیدگی و برداشت مشخص و ماندگاری محدودی دارند، و بعد از برداشت در اثر فعالیت میکروبی و واکنش‌های بیوشیمیایی به سرعت فاسد می‌شوند، بنابراین بایستی پس از برداشت تدبیری برای افزایش عمر انبارمانی یافته شود. کنسرو کردن، انجماد و خشک کردن از جمله روش‌های پرکاربرد هستند، که در مقیاس وسیع صنعتی بکار می‌روند. عدم پذیرش افزودنی‌های شیمیایی و تقاضا برای محصولات طبیعی‌تر، توجه به برخی از روش‌ها از جمله روش خشک کردن را افزایش داده است.

خشک کردن به روش جریان هوای گرم متداول‌ترین روشی است که در سطح تجاری و بصورت گسترده برای انواع سبزیجات و میوه‌ها بکار می‌رود، در طول خشک کردن با هوای داغ مقدار فروپاشی سلولی با مقدار افت رطوبت در طول فرآیند متناسب است، از این رو پارامترهای کیفی مانند طعم، رنگ، ظرفیت آنتی‌اکسیدانی و سرعت باز جذب آب تحت تأثیر قرار گرفته و کاهش می‌یابند. همچنین به دلیل اتلاف زیاد انرژی حرارتی، بالا بودن مدت زمان عملیات با هوای گرم، روش‌هایی که با حداقل هزینه حداکثر کیفیت محصول را نگهداری کنند، حائز اهمیت می‌باشند. از جمله این روش‌ها می‌توان به خشک کردن تحت خلاء اشاره کرد. خشک کردن خلاء روشی جایگزین برای روش خشک کردن مرسوم اتمسفری است. در این روش خارج شدن رطوبت از محصول در فشارهای پایین انجام گرفته و واکنش‌های اکسیداسیون به دلیل عدم وجود هوا به حداقل رسیده و رنگ، طعم و بافت محصولات خشک شده تا حدی حفظ می‌شود (Arévalo-Pinedo and Murr, 2006).

از جمله تغییرات فیزیکی که حین خشک کردن ماده غذایی رخ می‌دهد، کاهش حجم آن است. از دست دادن آب و گرم شدن باعث ایجاد تنش در ساختار سلولی ماده غذایی می‌گردد که نتیجه این حالت تغییر شکل و ابعاد آن است (Daood et al., 2006). چروکیدگی محصول در بیشتر موارد یک ویژگی منفی از نظر مصرف کننده است. پدیده چروکیدگی اثر منفی بر میزان جذب آب مجدد محصول خشک شده می‌گذارد. اکثر مواد غذایی جامد و نیمه جامد از مواد غیرهمگن تشکیل شده است که به صورت یک شبکه مقدار زیادی از فاز مایع را در خود نگه می‌دارد. ساختار خاص مواد و ویژگی‌های مکانیکی اجزا آن، حجم نمونه، اندازه و شکل آن را تعیین می‌کند. موقعی که آب از شبکه مواد خارج می‌شود، فشار نامتعادلی بین داخل و خارج شبکه بوجود می‌

مطلوب‌ترین شرایط با حفظ جنبه‌های کیفی محصول، شناسایی و تعیین شده است.

مواد و روش‌ها

مواد

جهت انجام این مطالعه فلفل دلمه‌ای سبز رقم RS-ANIBAL F1 با توصیه مرکز تحقیقات کشاورزی از یکی از گلخانه‌های شهر تبریز تهیه گردید و تا زمان انجام آزمایشات در سردخانه بالای صفر نگهداری گردید. همچنین کلرید سدیم به صورت نمک تصفیه شده با نام تجاری گل‌ها استفاده شد. اتیل اولئات ساخت شرکت Sigma آمریکا مورد استفاده قرار گرفت. دیگر مواد شیمیایی مورد استفاده از جمله تولوئن، یدات پتاسیم، یدید پتاسیم، کربنات سدیم، اسید کلریدریک و معرف فولین ساخت شرکت Merck آلمان استفاده گردید.

روش کار

آماده‌سازی نمونه‌ها

نمونه‌ها در آزمایشگاه صنایع غذایی به مدت ۱ ساعت تا رسیدن به دمای آزمایشگاه در محیط نگهداری شد؛ سپس شسته شده قسمت سر و دانه‌های آن جدا شدند و سپس توسط یک کاتر دستی مربعی شکل (قالب آلومینیومی) به قطعاتی به طول و عرض ۲ سانتی‌متر و ضخامت ۴ میلی‌متر برش داده شدند. لازم به ذکر است که ضخامت برش‌ها توسط کولیس کنترل شده و برای انجام هر پیش تیمار مطابق جدول ۱ مقدار ۳۰۰ گرم از نمونه‌ها جدا گردید.

روش‌های پیش تیمار نمونه‌ها

آنزیم‌بری

جهت تعیین اثرات پیش تیمار آنزیم‌بری، نمونه‌ها در آب 100°C به مدت ۳ دقیقه غوطه‌ور شدند. در تمامی موارد پس از اعمال آنزیم‌بری جهت جلوگیری از حرارت بیشتر نمونه‌ها بلافاصله با آب سرد شسته شده و آب سطحی آنها با کاغذ صافی گرفته شد (Tunde-Akintunde, 2010).

غوطه‌وری در محلول کلرید سدیم

در این مطالعه از محلول کلرید سدیم به غلظت‌های ۲ و ۴ درصد (وزنی-وزنی) جهت غوطه‌وری نمونه‌ها به مدت ۳ دقیقه استفاده گردید. نسبت نمونه به محلول در همه غلظت‌ها ۱ به ۵ در نظر گرفته شد. در تمامی موارد جهت یکنواختی شرایط بعد از خروج قطعات از محلول آب‌نمک، رطوبت سطحی آنها توسط کاغذ جاذب حذف گردید (Tunde-Akintunde, 2010).

در شرایط میکروویو تحت خلاء در بازه زمانی ۶ تا ۱۲ دقیقه است، در مقایسه با خشک شدن هوای گرم (۶۰۰ دقیقه) بطور قابل توجهی کاهش می‌یابد. همچنین PFSP در شرایط میکروویو تحت خلاء خشک شده نسبت به خشک کردن هوای گرم دارای شاخص جذب آب و ظرفیت تورم کمتری بود و رنگ، فعالیت آنتی‌اکسیدانی و محتوای فنلی کل PFSP خشک شده نیز تحت خشک شدن در میکروویو تحت خلاء بهبود یافت (Marzuki et al., 2021).

آبگیری اسمزی به عنوان پیش فرآیند برخی از روش‌های نگهداری مانند: خشک کردن با هوای گرم، خشک کردن در خلاء، کنسرو کردن، انجماد و سرخ کردن بکار می‌رود. استفاده از آبگیری اسمزی قبل از فرآیند خشک کردن به دلیل انتقال آب به خارج از بافت ماده غذایی حداکثر کیفیت لازم را به فرآورده می‌دهد. در این روش افزایش ماده جامد محصول در حضور محلول‌های غلیظ (کلرید سدیم، سوربیتول، ساکاریدها و ...) صورت می‌گیرد. هدف اصلی از آبگیری اسمزی به حداقل رساندن صدمه به بافت سلولی و انتقال آب به بیرون از بافت در یک مدت کوتاه، در مقایسه با سایر روش‌های خشک کردن است. طی آبگیری اسمزی چند جریان جرمی اتفاق می‌افتد؛ که مهم‌ترین آن انتقال آب از داخل فرآورده به داخل محلول اسمزی و در جهت مخالف انتشار آب، جریان ماده حل شده از محلول اسمزی به داخل بافت ماده غذایی می‌باشد (Cichowska et al., 2018). در سال‌های اخیر فعالیت‌های زیادی در راستای استفاده از آبگیری اسمزی به عنوان فرآیند یا پیش فرآیند خشک کردن صورت گرفته است چرا که این فرآیند باعث بهبود خواص کیفی، عطر و طعم و بافت محصول می‌شود. در این راستا استفاده از محلول قلیایی اتیل اولئات تا حد زیادی زمان خشک کردن را کاهش می‌دهد. اتیل اولئات با فرمول مولکولی ($\text{C}_{20}\text{H}_{38}\text{O}_2$) استر اسید چرب تشکیل شده از طریق کندانسیون اسیداولئیک و اتانول می‌باشد که یک محلول قلیایی نامحلول در آب بوده و به عنوان امولسیفایر استفاده می‌شود. فرو بردن میوه‌های واکی برای چند ثانیه در محلول اتیل اولئات تا حد زیادی زمان خشک کردن را کاهش می‌دهد. پوشش واکی (مومی) در بعضی از میوه‌جات و سبزیجات به عنوان یک لایه محافظ در برابر عوامل محیطی و خارجی عمل می‌کند همچنین این لایه مومی به جریان رطوبت از داخل میوه به سطح آن تأثیر می‌گذارد که یک فرآیند مهم در خشک کردن می‌باشد (Doymaz, 2004). به دلیل ضرورت اقدامات اساسی به لحاظ جنبه‌های اقتصادی در راستای افزایش ماندگاری و کیفیت محصولات کشاورزی پرارزش در پژوهش حاضر با اعمال پیش تیمار محلول اتیل اولئات قلیایی و کلرید سدیم و مقایسه اثر فرآیند آنزیم‌بری و عدم آنزیم‌بری بر روی فلفل دلمه‌ای و سپس خشک کردن در خشک‌کن تحت خلاء با روش سطح پاسخ،

جدول ۱- طرح آماری مرکب ارائه شده توسط نرم افزار Minitab نسخه ۱۶

Table 1- Composite statistical design presented by Minitab software version 16

Sample	Blanching	Treatment with % sodium chloride solution	Treatment with ethyl-oleate solution
نمونه	آنزیم‌بری	تیمار با محلول کلرید سدیم %	تیمار با محلول اتیل‌اولئات
1	-	0	2
2	-	0	0
3	+	2	2
4	+	2	2
5	+	2	2
6	+	2	2
7	+	0	2
8	+	2	4
9	-	0	4
10	-	2	2
11	-	2	2
12	-	2	4
13	+	2	2
14	+	0	0
15	-	2	0
16	-	2	2
17	-	4	4
18	+	4	2
19	+	4	4
20	-	4	0
21	-	2	2
22	-	2	2
23	+	2	0
24	-	4	2
25	+	4	0
26	+	0	4

غوطه‌وری در محلول اتیل اولئات

محلول اتیل‌اولئات با غلظت‌های ۲ و ۴ درصد (وزنی - وزنی) تهیه گردید و نمونه‌ها به مدت ۱ دقیقه در محلول غوطه‌ور گردیدند و سطح مرطوب نمونه‌ها پس از خروج از محلول روغنی اتیل‌اولئات توسط کاغذ جاذب حذف گردید (Doymaz and Ismail, 2010).

خشک کردن نمونه‌های پیش تیمار شده

جهت خشک کردن، نمونه‌های پیش تیمار شده در خشک کن تحت خلاء آزمایشگاهی (شرکت Memmert، مدل V0400، ساخت کشور آلمان) با دمای ۶۰°C و فشار ۱۰ کیلوپاسکال با فاصله معین بر روی طبقات آون چیده شدند (شکل ۱). پس از اتمام زمان خشک شدن ۱۰ گرم از نمونه‌های تیمار شده توسط ترازو (شرکت Mettler Toledo، مدل ME303، ساخت کشور سوئیس) جهت بررسی سینتیک خشک شدن و مابقی نمونه‌ها جهت انجام آنالیزهای مورد نظر جدا گردیدند. به منظور دستیابی به سینتیک خشک شدن، نمونه‌ها در فواصل زمانی ۳۰ دقیقه‌ای از آون (شرکت بهداد، مدل ۳۴۹۴، ساخت کشور ایران) خارج شده و توسط ترازوی دیجیتال وزن گردید و خشک کردن تا رسیدن به محتوای رطوبت ۱۲ درصد بر پایه مرطوب ادامه یافت سپس جهت

انجام آنالیزهای مربوطه بر روی نمونه‌های خشک شده نمونه‌ها در بسته‌بندی‌های پلاستیکی تا انجام آزمایشات نگهداری گردیدند. تمامی آزمایشات با ۲ تکرار انجام شد و داده‌های گزارش شده میانگین داده‌های آزمایشی هستند.

بررسی ویژگی‌های کیفی نمونه‌های خشک شده

محتوای رطوبت

میزان رطوبت نمونه تازه از طریق خشک کردن ۵ گرم نمونه خرد شده در آون کنوکسیون در دمای ۱۰۵±۱ درجه سلسیوس، تا رسیدن به وزن ثابت انجام شد (A Chemists, 1990). در نهایت بر حسب گرم رطوبت به گرم ماده خشک گزارش گردید. محتوای رطوبت نمونه‌های خشک شده طبق رابطه (۱) محاسبه شد و منحنی‌های خشک کردن مربوطه رسم گردید.

$$MC = \frac{W_0 - W}{W_0} \times 100 \quad (\text{رابطه ۱})$$

که در این رابطه:



شکل ۱- نمونه‌های برش داده و تیمار شده (عکس از نویسنده)
Fig. 1- Cut and treated samples (photo by the author)

رسم و معادله آن به دست آمد. سپس اعداد میانگین نمونه‌های فلفل دلمه‌ای در معادله خط استاندارد قرار داده شد تا اعداد واقعی به دست آید. همچنین شاخص میزان تغییرات رنگ نسبت به رنگ شاهد با رابطه (۶) محاسبه شد.

$$\Delta E = \sqrt{(L_0^* - L_i^*)^2 + (a_0^* - a_i^*)^2 + (b_0^* - b_i^*)^2}$$

(رابطه ۶)

L_0^* : میزان روشنایی در نمونه شاهد

L_i^* : میزان روشنایی در نمونه خشک شده

a_0^* : میزان رنگ سبز تا قرمز در نمونه شاهد

a_i^* : میزان رنگ سبز تا قرمز در نمونه خشک شده

b_0^* : میزان آبی تا زرد در نمونه شاهد

b_i^* : میزان آبی تا زرد در نمونه خشک شده

تعیین میزان کلروفیل

میزان کلروفیل نمونه‌های تازه و خشک شده با استفاده از دستگاه کلروفیل سنج (شرکت Opti sciences، مدل CC 202plus، ساخت کشور آمریکا) ارزیابی گردید.

اسید آسکوربیک

۱۰۰ گرم از نمونه تازه را بسیار ریز خرد کرده ۵۰ میلی لیتر آب مقطر به آن اضافه کرده و با استفاده از هاون له کرده و مخلوط حاصل با

MC: محتوای رطوبت

W_0 : وزن نمونه اولیه

W: وزن نمونه بعد از آون گذاری می‌باشند.

همچنین برای رسم نمودارهای کاهش رطوبت، نسبت رطوبت از

رابطه (۲) محاسبه گردید.

(رابطه ۲)

$$MR = \frac{M_t - M_e}{M_0 - M_e}$$

که در این معادله:

MR: نسبت رطوبت (بدون بعد)

M_t : رطوبت نمونه در زمان t

M_0 : رطوبت اولیه نمونه‌ها

M_e : مقدار رطوبت تعادلی می‌باشند.

رنگ

مقایسه رنگ نمونه‌های خشک شده فلفل دلمه‌ای با استفاده از روش یام و پاپاداکیس (Yam and Papadakis, 2004) انجام گرفت. ابتدا تصاویر دیجیتالی نمونه‌ها در داخل محفظه معین با شدت نور و فاصله لنز ثابت، تا نمونه گرفته شد. زاویه بین محور لنز دوربین و منبع نور ثابت و حدود ۴۵ درجه گرفته شد. نور داخل محفظه دارای قدرت مشابه نور روز D_{65} بود. تعیین فاکتورهای L ، a و b در ۵ نقطه از نمونه توسط نرم‌افزار فتوشاپ انجام گرفت. همچنین عکسبرداری از رنگ‌های استاندارد (Ral) در همان محفظه با شرایط مشابه انجام پذیرفت و فاکتورهای L ، a و b همانند قبل تعیین گشت. با توجه به فاکتورهای L ، a و b استانداردهای Ral و استانداردهای واقعی، منحنی استاندارد

ب) تهیه عصاره و اندازه‌گیری ترکیبات فنلی نمونه‌ها

جهت استخراج عصاره از حلال متانول-آب (متانول ۸۰٪) استفاده شد. برای این کار ۵ گرم از نمونه بعد از خرد شدن به مدت ۴۸ ساعت در ۸۰ میلی‌لیتر متانول ۸۰ درصد قرار داده شد و سپس با استفاده از کاغذ صافی، صاف شد و محلول به دست آمده با افزودن متانول ۸۰٪ به حجم ۱۰۰ میلی‌لیتر رسانده شد. ۱ میلی‌لیتر از نمونه را به بالن ژوژه ۱۰۰ انتقال داده و ۷۰ میلی‌لیتر آب مقطر، ۵ میلی‌لیتر معرف فولین-سیوکالته (۱۰٪) به آن اضافه شده و در دمای اتاق به مدت ۸ دقیقه هم‌زده، سپس ۱۵ میلی‌لیتر محلول کربنات سدیم (۲۰٪) به آن اضافه شده و با آب به حجم ۱۰۰ رسانده شد و به مدت ۲ ساعت در دمای اتاق در محل تاریک نگهداری و سپس در طول موج ۷۶۵ نانومتر میزان جذب نمونه قرائت و با استفاده از منحنی استاندارد غلظت فنل موجود در نمونه محاسبه شد (Lee et al., 2005).

تجزیه و تحلیل آماری

بررسی اثرات مستقل و متقابل غوطه‌وری در غلظت‌های مختلف محلول کلریدسدیم و اتیل اولئات بر سینتیک و مدت زمان خشک شدن بطور جداگانه در نمونه‌های آنزیم‌بری شده و آنزیم‌بری نشده بر روی پارامترهای رنگ، میزان کلروفیل، مواد فنلی و ویتامین ث باقیمانده در فلفل دلمه‌ای خشک شده با استفاده از نرم‌افزار minitab16 و روش سطح پاسخ (RSM) مورد بررسی قرار گرفت؛ در این طرح ابتدا بر اساس آزمایشات مقدماتی و پیشینه تحقیق دامنه تغییرات فاکتورها برای متغیرهای مستقل تعیین گردید و سپس تأثیر مستقل فاکتورها و اثرات متقابل آنها بر اساس سطح احتمال ۹۵٪ مورد بررسی قرار گرفت. روش سطح پاسخ برای ارزیابی اثر متغیرهای مستقل؛ غوطه‌وری در محلول اتیل اولئات (X1) و غوطه‌وری در محلول کلرید سدیم (X2) بر روی متغیرهای وابسته استفاده گردید (جدول ۲).

استفاده از کاغذ صافی صاف شد و سپس محلول استخراج شده در یک بالن حجمی با آب مقطر به حجم ۱۰۰ میلی‌لیتر رسانده شد. ۲۰ میلی‌لیتر از عصاره نمونه را به داخل بالن حجم ۲۵۰ میلی‌لیتر ریخته و ۱۵۰ میلی‌لیتر آب مقطر، ۵ میلی‌لیتر یدید پتاسیم (۰/۶ مول بر لیتر)، ۵ میلی‌لیتر اسید کلرویدریک (۱ مول بر لیتر) و ۱ میلی‌لیتر از محلول نشاسته (۰/۵ درصد) اضافه گردید. سپس نمونه با محلول یدات پتاسیم (۰/۰۰۲ مول بر لیتر) تیترا شد. نقطه پایانی تیتراسیون ظهور اولین نشانه دائمی رنگ آبی تیره به دلیل کمپلکس نشاسته و ید می‌باشد و میزان اسید آسکوربیک نمونه با توجه به نمودار استاندارد با استفاده از رابطه (۷) محاسبه گردید (Lee et al., 2005).

(رابطه ۷) $X = 0.917858 X - 0.300937$ = حجم یدات مصرفی
 X: مقدار اسید آسکوربیک بر حسب میلی‌گرم اسید آسکوربیک در ۱۰۰ میلی‌لیتر عصاره

تعیین ترکیبات فنلی نمونه‌ها

الف) رسم منحنی کالیبراسیون اسیدگالیک

برای رسم منحنی استاندارد ابتدا ۰/۵ گرم اسیدگالیک در ۱۰ میلی‌لیتر اتانول ۹۶ درصد حل شده و سپس به حجم ۱۰۰ میلی‌لیتر رسانده شد. از محلول فوق مقدار ۰، ۰/۵، ۱، ۲، ۵، ۱۰ میلی‌لیتر برداشته و به حجم ۱۰۰ میلی‌لیتر رسانده شد. سپس از نمونه‌ها ۱ میلی‌لیتر برداشته و با ۵ میلی‌لیتر محلول فولین-سیوکالته (۱۰ درصد) و ۷۰ میلی‌لیتر آب مقطر مخلوط و به مدت ۸ دقیقه هم زده شد. در ادامه ۱۵ میلی‌لیتر محلول کربنات سدیم اشباع (۲۰ درصد) افزوده و با آب به حجم ۱۰۰ میلی‌لیتر رسانده شد و به مدت ۲ ساعت در دمای اتاق در محل تاریک نگهداری گردید و سپس جذب نمونه در طول موج ۷۶۵ نانومتر قرائت شد و منحنی مربوطه رسم گردید.

جدول ۲- نمایش متغیرهای مستقل کمی فرآیند

Table 2- Showing the quantitative independent variables of the process

Factors levels			Mathematical symbol نماد ریاضی	Quantitative independent variables متغیرهای مستقل کمی
1	0	-1		
4	2	0	X ₁	غوطه‌وری در محلول اتیل اولئات (درصد) Immersion in ethyl oleate solution (%)
4	2	0	X ₂	غوطه‌وری در محلول کلریدسدیم (درصد) Immersion in sodium chloride solution (%)

رطوبت آزمایشگاهی با نسبت‌های رطوبت پیش‌بینی شده (معادله واکنش) توسط مدل‌های ریاضی استفاده شد. ثابت سرعت واکنش خشک شدن بر اساس ریشه میانگین مربعات خطا (RMSE) که از رابطه (۸) بدست آمد.

مدل‌سازی رگرسیونی

برای مدل‌سازی سینتیک خشک شدن نمونه‌های آزمایش شده بر اساس مدل‌های ریاضی شناخته شده از ابزار برازش منحنی نرم‌افزار MATLAB و تکنیک رگرسیون غیر خطی برای برازش نسبت‌های

نتایج و بحث
سینتیک خشک کردن

تعیین درجه، معادله و سرعت واکنش نمونه‌های آزمایش شده

در جدول ۳ داده‌های سینتیک نمونه‌های مورد آزمون به همراه تعیین درجه، معادله و سرعت واکنش نمونه‌ها گزارش شده است.

$$RMSE = \sqrt{\frac{1}{N} \sum_{i=1}^n (MR_{pi} - MR_{ei})^2}$$

(رابطه ۸)

که در این رابطه:

MR_{ei}: نسبت رطوبت آزمایشگاهی

MR_{pi}: نسبت رطوبت پیش‌بینی شده توسط مدل

N: تعداد مشاهدات را نشان می‌دهد.

جدول ۳- داده‌های سینتیک نمونه‌های مورد آزمون

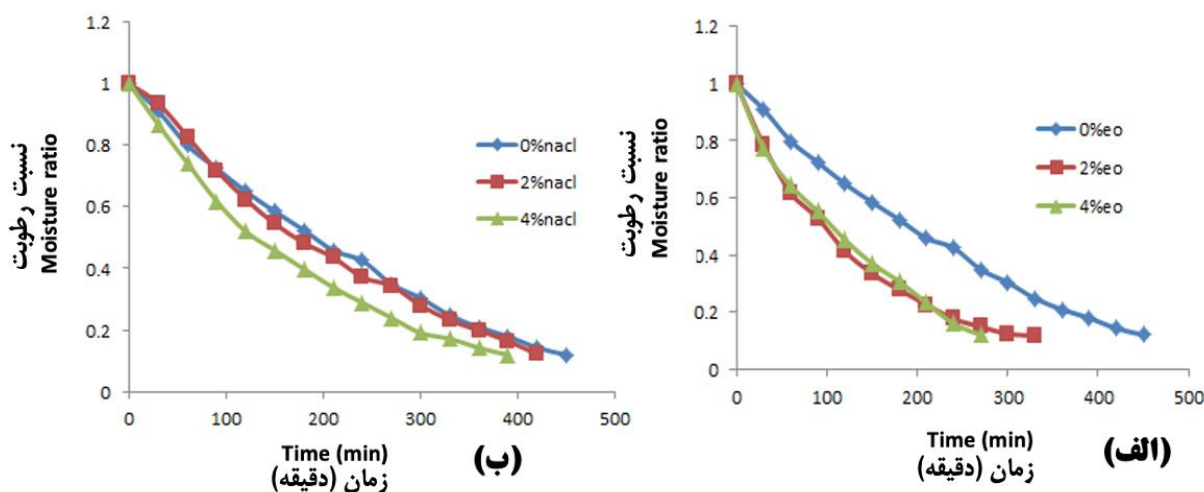
Table 3- Kinetic data of the tested samples

Applied treatment تیمار اعمال شده	Reaction order مرتبه واکنش	Reaction equation معادله واکنش	The reaction rate constant ثابت سرعت واکنش
Control شاهد	First اول	$y=1.0783 e^{-0.004}$	0.0047
Ethyl oleate 2% اتیل اولئات ۲%	First اول	$y=0.9687 e^{-0.007}$	0.0067
Ethyl oleate 4% اتیل اولئات ۴%	First اول	$y=1.0163 e^{-0.007}$	0.0075
Sodium chloride 2% کلرید سدیم ۲%	First اول	$y=1.1186 e^{-0.005}$	0.0049
Sodium chloride 4% کلرید سدیم ۴%	First اول	$y=1.0235 e^{-0.005}$	0.00454
Sodium chloride 4% + Ethyl oleate 2% کلرید سدیم ۴% + اتیل اولئات ۲%	First اول	$y=1.0122 e^{-0.005}$	0.0057
Sodium chloride 2% + Ethyl oleate 4% کلرید سدیم ۲% + اتیل اولئات ۴%	First اول	$y=1.0529 e^{-0.008}$	0.0085
Sodium chloride 2% + Ethyl oleate 2% کلرید سدیم ۲% + اتیل اولئات ۲%	First اول	$y=1.0286 e^{-0.006}$	0.0058
Sodium chloride 4% + Ethyl oleate 4% کلرید سدیم ۴% + اتیل اولئات ۴%	First اول	$y=1.0109 e^{-0.008}$	0.0078
Blanching آنزیم‌بری	First اول	$y=1.0797 e^{-0.006}$	0.0064
Blanching+ Ethyl oleate 2% آنزیم‌بری + اتیل اولئات ۲%	Zero صفر	$y=0.0032x + 0.0735$	0.0032
Blanching+ Ethyl oleate 4% آنزیم‌بری + اتیل اولئات ۴%	First اول	$y=0.9772 e^{-0.009}$	0.0864
Blanching+ Sodium chloride 2% آنزیم‌بری + کلرید سدیم ۲%	First اول	$y=1.0914 e^{-0.007}$	0.0067
Blanching+ Sodium chloride 4% آنزیم‌بری + کلرید سدیم ۴%	Zero صفر	$y=0.0033x + 0.0398$	0.0033
Blanching+ Sodium chloride 2% + Ethyl oleate 4% آنزیم‌بری + کلرید سدیم ۲% + اتیل اولئات ۴%	First اول	$y=1.0388 e^{-0.008}$	0.0085
Blanching+ Sodium chloride 4% + Ethyl oleate 2% آنزیم‌بری + کلرید سدیم ۴% + اتیل اولئات ۲%	First اول	$y=1.1163 e^{-0.009}$	0.087
Blanching+ Sodium chloride 2% + Ethyl oleate 2% آنزیم‌بری + کلرید سدیم ۲% + اتیل اولئات ۲%	Zero صفر	$y=0.0033x + 0.0492$	0.0033
Blanching+ Sodium chloride 4% + Ethyl oleate 4% آنزیم‌بری + کلرید سدیم ۴% + اتیل اولئات ۴%	First اول	$y=1.0047 e^{-0.01}$	0.0097

منحنی‌های خشک کردن

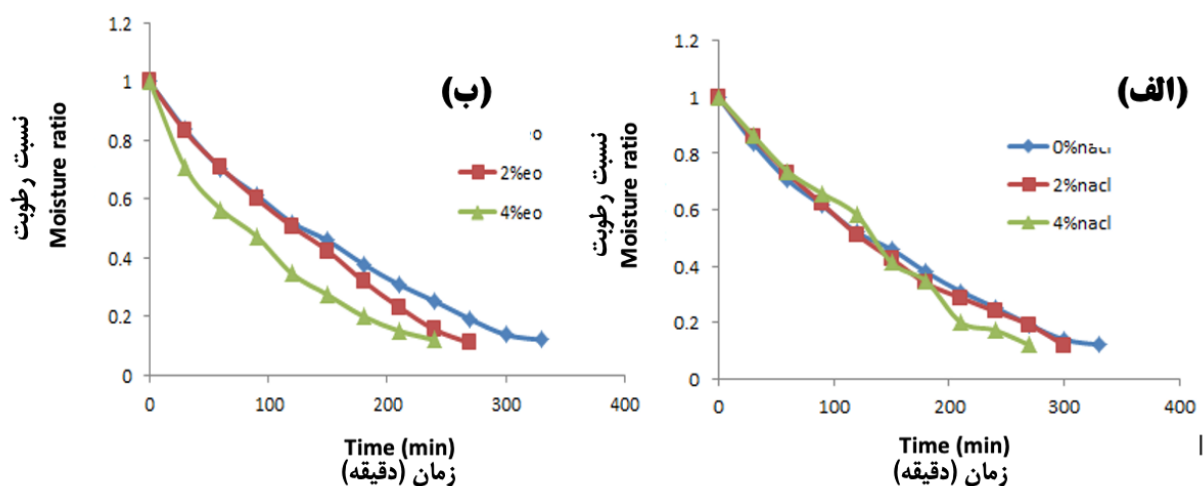
نزولی اتفاق می‌افتد؛ که نشان‌دهنده اثر غالب مکانیسم نفوذپذیری بافت، بر حرکت رطوبت ماده غذایی می‌باشد. همچنین ممکن است به ماهیت کلوییدی و هیدروفیلیکی مواد غذایی نسبت داده شود که باعث می‌شود مولکول‌های آب با استحکام بیشتری نگه داشته شوند. نتایج مشابهی توسط دویماز (Doymaz, 2006) در خشک کردن میوه‌های مختلف انگور، زردآلو، فلفل قرمز و فلفل سبز بدست آمده است.

منحنی سینتیک افت رطوبت در طول مدت زمان خشک شدن برای نمونه‌های پیش‌تیمار شده و شاهد تا رسیدن به رطوبت ۱۲ درصد (بر اساس وزن مرطوب) در نمودارهای شکل ۲ تا ۴ دیده می‌شود. در هیچکدام از این منحنی‌ها، دوره سرعت ثابت خشک کردن مشاهده نشد، از این رو کل فرآیند خشک کردن فلفل دلمه‌ای در محدوده سرعت



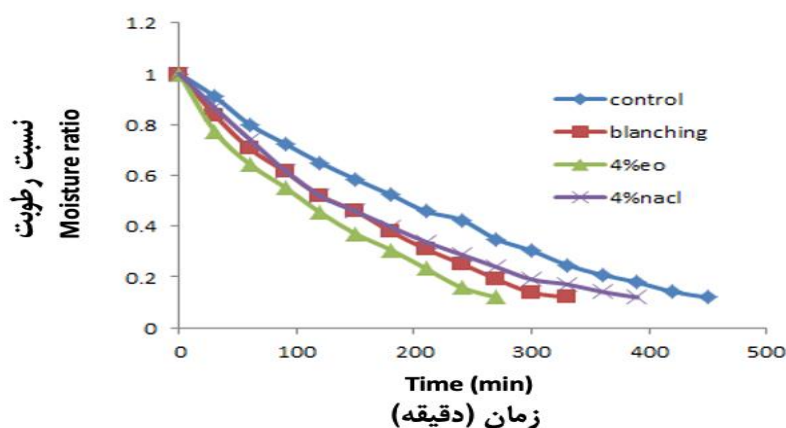
شکل ۲- منحنی افت رطوبت نمونه‌های آنزیم‌بری شده و تیمار شده با: (الف) محلول کلرید سدیم؛ (ب) محلول اتیل اولئات

Fig. 2- Moisture loss curve of blanched and treated samples with: (a) sodium chloride solution; (b) Ethyl oleate solution



شکل ۳- منحنی افت رطوبت نمونه‌های آنزیم‌بری نشده و تیمار شده با: (الف) محلول کلرید سدیم؛ (ب) محلول اتیل اولئات

Fig. 3- The moisture loss curve of samples non-blanching and treated with: (a) sodium chloride solution; (b) Ethyl oleate solution



شکل ۴- منحنی مقایسه‌ای افت رطوبت نمونه شاهد با تیمارهای مختلف

Fig. 4- Comparative curve of moisture loss of the control sample with different treatments

اثر خطی محلول اتیل اولئات هم بر میزان اسیدآسکوربیک اثر معنی‌داری داشت ($p < 0/05$). در حالی که غوطه‌وری در محلول کلریدسدیم و اثر متقابل محلول اتیل اولئات و کلریدسدیم معنی‌دار نمی‌باشند ($p > 0/05$). همبستگی بالایی در استفاده از غلظت‌های محلول اتیل اولئات و کلریدسدیم بین اعداد حاصل از آزمایش و اعداد پیش‌بینی شده توسط مدل وجود داشت ($R^2 = 0/9948$) و همچنین میزان $adj-R^2$ (ضریب تبیین تعدیل شده) محاسبه شده برای مدل، $0/9911$ می‌باشد که می‌توان نتیجه گرفت که نتایج حاصل با مدل آزمایشی مورد استفاده مطابقت دارد. در ادامه با بکارگیری آنالیز رگرسیون مدل درجه دوم در داده‌های آزمایشی برای پیش‌بینی رابطه بین متغیرهای مستقل و متغیر وابسته پس از حذف ضرایب بی‌معنی و در سطح ۹۵ درصد رابطه (۹) توسط نرم‌افزار دیزاین اکسپرت ارائه شده است. رابطه (۹) نیز نشان داد که جملات مربوط به اثرات درجه اول، تأثیر منفی محلول اتیل اولئات (X_1) بر میزان اسیدآسکوربیک در نمونه‌های آنزیم‌بری نشده داشتند و جملات مربوط به اثر درجه دوم X_1^2 ، تأثیر مثبت بر میزان اسیدآسکوربیک در نمونه‌های آنزیم‌بری نشده داشت.

(رابطه ۹)

$$Y = + 18/1461 - 1/1417 X_1 + 0/9396 X_1^2$$

Y: اسیدآسکوربیک؛ X_1 : محلول اتیل اولئات.

شکل ۵ اثر هم‌زمان غلظت‌های محلول اتیل اولئات و کلریدسدیم را بر میزان اسیدآسکوربیک نمونه‌های آنزیم‌بری نشده و خشک شده در خشک‌کن تحت خلأ را نشان می‌دهد. با توجه به شکل (۵-الف) و (۵-ب)، با افزایش غلظت محلول اتیل اولئات بر میزان پایداری اسیدآسکوربیک نمونه‌های آنزیم‌بری نشده بیشترین تأثیر را داشته است.

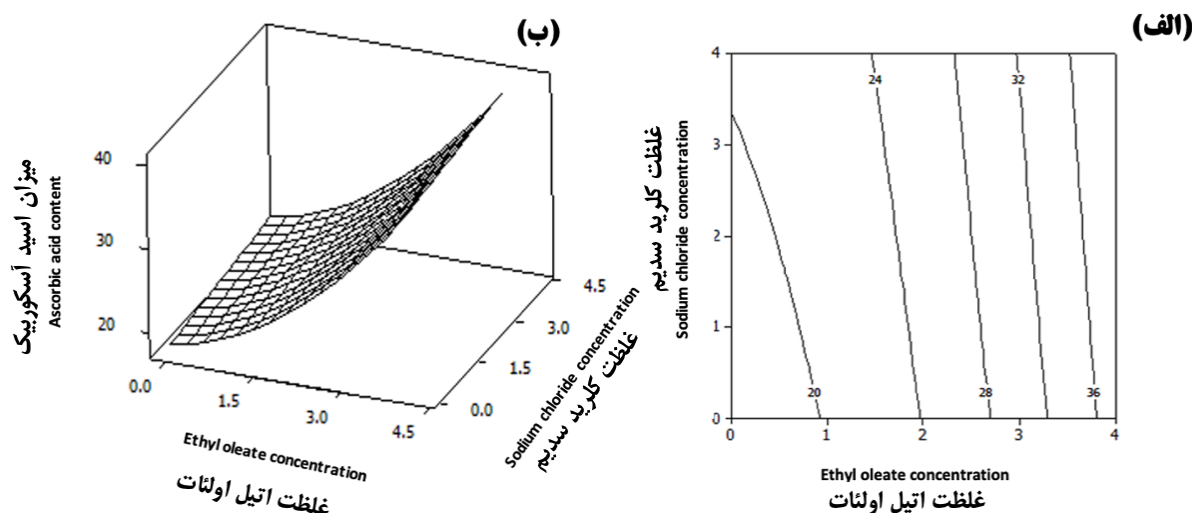
با توجه به نتایج به دست آمده در شکل ۴ محلول‌های پیش‌تیماری اتیل اولئات و کلریدسدیم به عنوان یک پارامتر مهم در زمان خشک شدن تأثیر می‌گذارند. نمونه‌های غوطه‌ور شده در محلول اتیل اولئات با غلظت ۴٪ زمان خشک کردن کوتاه‌تری در مقایسه با سایر پیش‌تیمارها داشته است، در نتیجه محلول مؤثرتری در افزایش نفوذپذیری پوست نسبت به رطوبت بوده است. به نظر می‌رسد که خواص فیزیکی بافت توسط آنزیم‌بری تغییر می‌کند. غشاء سلولی در اثر حرارت آسیب دیده و این در سرعت خشک کردن تأثیر دارد که نتایج مشابهی توسط کایماک-ارتهکین (Kaymak-Ertekin, 2002) بیان شده است.

اثر پیش‌تیمارهای مختلف بر پارامترهای مورد ارزیابی با روش سطح پاسخ

میزان اسیدآسکوربیک

اثر پیش‌تیمارهای مختلف بر میزان اسیدآسکوربیک در نمونه‌های آنزیم‌بری نشده

از تجزیه و تحلیل آماری داده‌ها به منظور تعیین مناسب بودن مدل تجربی بکار رفته (مدل درجه دوم)، استفاده شد. نتایج اثرات مستقل و متقابل پیش‌تیمارهای مختلف را بر میزان اسیدآسکوربیک در فلفل‌های خشک شده، معنی‌دار بودن مدل ($p < 0/05$) و عدم معنی‌دار بودن عدم برآزش ($p > 0/05$) نشان دهنده توانایی خوب مدل موجود در برآزش داده‌های تجربی این آزمایش است و می‌توان نتیجه گرفت که نتایج حاصل با مدل آزمایشی مورد استفاده مطابقت دارد. مطابق با آنالیز آماری از بین متغیرهای تأثیرگذار بر میزان اسیدآسکوربیک، بیشترین اثر مربوط به اثر درجه دوم غوطه‌وری در محلول اتیل اولئات بود که تأثیر معنی‌داری را نشان داد ($p < 0/05$). البته لازم به ذکر است که



شکل ۵- اثر متقابل محلول اتیل اولئات و کلرید سدیم بر مقدار اسیدآسکوربیک نمونه‌های آنزیم‌بری نشده با استفاده از: (الف) نمودار کانتور دو بعدی؛ و (ب) نمودار سطح پاسخ سه بعدی

Fig. 5- The interaction of ethyl oleate and sodium chloride solution on the ascorbic acid content of non-blanching samples: a) two-dimensional line diagram. and (b) 3D response surface plot

آنزیم‌بری شده و خشک شده، معنی‌دار بودن مدل ($p < 0.05$) و عدم معنی‌دار بودن عدم برآزش ($p > 0.05$) نشان دهنده توانایی خوب مدل موجود در برآزش داده‌های تجربی این آزمایش است. مطابق با آنالیز آماری از بین متغیرهای تأثیرگذار بر میزان اسیدآسکوربیک، اثر خطی محلول اتیل اولئات (X_1) و کلرید سدیم (X_2)، همچنین جملات مربوط به اثرات درجه دوم X_1^2 و X_2^2 و اثرات متقابل (X_1X_2) بر میزان اسیدآسکوربیک اثر معنی‌داری داشتند ($p < 0.05$). همبستگی بالایی در استفاده از غلظت‌های محلول اتیل اولئات و کلرید سدیم بین اعداد حاصل از آزمایش و اعداد پیش‌بینی شده توسط مدل وجود داشت ($R^2 = 0.9996$) و همچنین میزان $adj-R^2$ (ضریب تبیین تعدیل شده) محاسبه شده برای مدل، 0.9993 می‌باشد که می‌توان نتیجه گرفت که نتایج حاصل با مدل آزمایشی مورد استفاده مطابقت دارد.

با بکارگیری آنالیز رگرسیون مدل درجه دوم در داده‌های آزمایشی برای پیش‌بینی رابطه بین متغیرهای مستقل و متغیر وابسته پس از حذف ضرایب بی‌معنی و در سطح ۹۵ درصد رابطه (۱۰) توسط نرم‌افزار دیزاین اکسپرت ارائه شده است. رابطه (۱۰) نیز نشان داد که جملات مربوط به اثرات درجه اول، تأثیر مثبت محلول اتیل اولئات (X_1) و تأثیر منفی محلول کلرید سدیم (X_2) بر میزان اسیدآسکوربیک در نمونه‌های آنزیم‌بری شده داشتند و جملات مربوط به اثر درجه دوم X_1^2 ، تأثیر منفی و X_2^2 ، تأثیر مثبت بر میزان اسیدآسکوربیک در نمونه‌های آنزیم‌بری شده داشت و در نهایت جمله مربوط به اثر متقابل X_1X_2 ، تأثیر مثبت بر میزان اسیدآسکوربیک در نمونه‌های آنزیم‌بری شده داشت. (رابطه ۱۰)

مؤثر بودن میزان اتیل اولئات در مقدار اسیدآسکوربیک باقی مانده بیشترین میزان اسیدآسکوربیک با مقدار $39/77$ مربوط به نمونه‌های تیمار شده در محلول اتیل اولئات با غلظت 4% و نمک طعام 4% می‌باشد و کمترین مقدار $17/98$ مربوط به تیمار کنترل می‌باشد. در تمامی تیمارهایی مورد بررسی اثر نمک طعام در پایداری اسیدآسکوربیک ناچیز بوده و در مقایسه اثر مستقل نمک طعام با بالاترین غلظت با نمونه کنترل تفاوت چندانی در میزان اسیدآسکوربیک باقی مانده دیده نمی‌شود. بنابراین نتیجه گرفته می‌شود که محلول اتیل اولئات در غلظت‌های بالا مدت زمان خشک کردن نمونه را کاهش می‌دهد، بنابراین نمونه کمتر تحت تأثیر دمای بالا قرار گرفته در نتیجه میزان بیشتری از ویتامین ث حفظ می‌گردد. نتایج حاصله با یافته‌های زیرجان و توکل‌پور (Zirjani and Tavakolipour, 2010) مطابقت دارد که در میان سه پیش‌فرآیند انجام شده، پیش‌فرآیند مخلوط اسیدآسکوربیک و اسید-سیتریک کاهش کمتری در ویتامین ث ایجاد کرده است ولی در پیش-فرآیند آنزیم‌بری با آبجوش و آنزیم‌بری شیمیایی با محلول ۱ درصد متابی سولفیت سدیم به دلیل انحلال ویتامین ث در آب میزان اتلاف آن بیشتر بوده است.

اثر پیش‌تیمارهای مختلف بر میزان اسیدآسکوربیک در نمونه‌های آنزیم‌بری شده

از تجزیه و تحلیل آماری داده‌ها به منظور تعیین مناسب بودن مدل تجربی بکار رفته (مدل درجه دوم)، استفاده شد. نتایج اثرات مستقل و متقابل پیش‌تیمارهای مختلف را بر میزان اسیدآسکوربیک در نمونه‌های

های سدیم متابی سولفیت و کلرید کلسیم بر روی نمونه سبزی‌ها قبل از عمل خشک کردن باعث حفظ ویتامین ث نسبت به نمونه‌های شاهد بوده که به اثر حفاظتی محلول‌های مورد استفاده نسبت داده شده که با مطالعه حاضر مطابقت نشان می‌دهد (Vega-Gálvez et al., 2009).

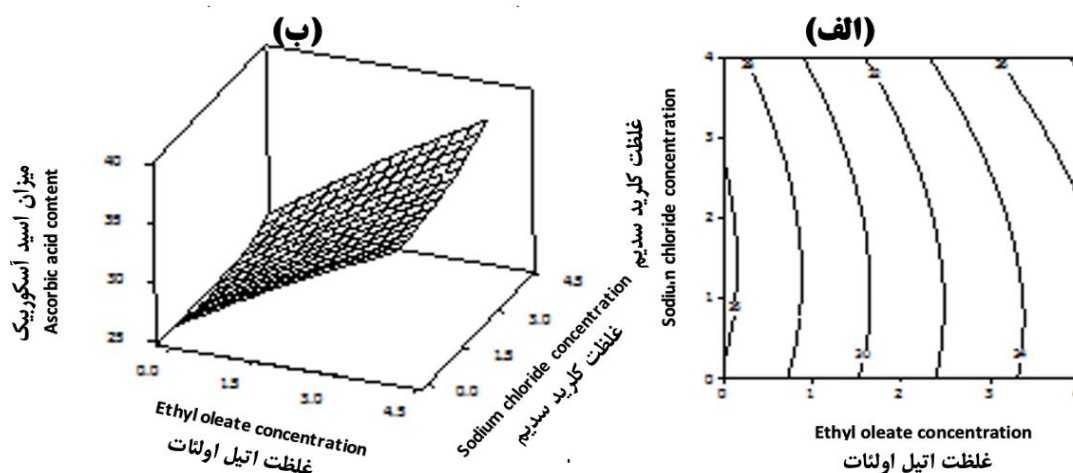
با توجه به مطلوب بودن فلفل سبز از نقطه نظر ویتامین ث، مقایسه فرآیند تأثیر آنزیم‌بری در نمونه‌های تیمار شده در حفظ این ویتامین مشاهده می‌گردد که مقدار ویتامین ث در نمونه‌های آنزیم‌بری شده کمتر از نمونه‌های آنزیم‌بری نشده می‌باشد. علت این امر مربوط به دمای بالای فرآیند آنزیم‌بری بوده که موجب تخریب ویتامین ث نمونه‌های تیمار شده گردیده است، که مطابق مطالعه‌ای که توسط وگا-گالویز و همکاران (Vega-Gálvez et al., 2009) انجام شده مطابقت دارد؛ در مطالعه آنها بر روی فلفل قرمز آنزیم‌بری شده دیده شد که تمام نمونه‌های آبیگری شده حاوی ویتامین ث کمتری نسبت به فلفل تازه بودند که به علت ترکیبی از مکانیسم‌های انتقال جرم، اکسیداسیون و تخریب حرارتی اسیدآسکوربیک طی آنزیم‌بری و خشک کردن می‌باشد (Vega-Gálvez et al., 2009).

$$Y = 26/0994 + 2/6949 X_1 - 0/7344 X_2 - 0/0935 X_1^2 + 0/2555 X_2^2 + 0/1091 X_1 X_2$$

Y: اسیدآسکوربیک؛ X_1 : محلول اتیل اولئات؛ X_2 : محلول کلرید سدیم.

شکل ۶ اثر هم‌زمان غلظت‌های محلول اتیل اولئات و کلرید سدیم را بر میزان اسیدآسکوربیک نمونه‌های آنزیم‌بری شده و خشک شده در خشک کن تحت خلاء نشان می‌دهد. مشاهده می‌شود افزایش در غلظت محلول‌های اتیل اولئات و کلرید سدیم موجب افزایش مقدار ویتامین ث در نمونه‌های خشک شده می‌گردد. با توجه به شکل (۶-الف) و (۶-ب)، با افزایش غلظت هر دو محلول اتیل اولئات و کلرید سدیم افزایش مقدار اسیدآسکوربیک در نمونه‌های آنزیم‌بری شده و خشک شده مشاهده گردید.

باتوجه به مؤثر بودن اثرات مستقل، توان دوم و متقابل تمامی پارامترها در مقدار اسیدآسکوربیک بیشترین مقدار مربوط به تیماری با اثر ۴٪ اتیل اولئات و ۴٪ نمک طعام بوده و کمترین مقدار مربوط به تیمار کنترل می‌باشد. مطالعه‌ای توسط وگا-گالویز و همکاران (Vega-Gálvez et al., 2009) انجام گرفت نشان می‌دهد که تأثیر محلول



شکل ۶- اثر متقابل محلول اتیل اولئات و کلرید سدیم بر مقدار اسیدآسکوربیک نمونه‌های آنزیم‌بری شده با استفاده از: (الف) نمودار کانتور دو بعدی؛ و (ب) نمودار سطح پاسخ سه بعدی

Fig. 6- The interaction of ethyl oleate and sodium chloride solution on the ascorbic acid content of blanched samples: a) two-dimensional line diagram. and (b) 3D response surface plot

معنی‌دار بودن عدم برآزش ($p > 0/05$) نشان دهنده توانایی خوب مدل موجود در برآزش داده‌های تجربی این آزمایش است. مطابق با آنالیز آماری از بین متغیرهای تأثیرگذار بر میزان مواد فنلی، اثر خطی محلول اتیل اولئات (X_1) و کلرید سدیم (X_2)، همچنین جملات مربوط به اثر درجه دوم X_1^2 و اثرات متقابل ($X_1 X_2$) بر میزان مواد فنلی اثر معنی داری داشتند ($p < 0/05$). همبستگی بالایی در استفاده از غلظت‌های محلول اتیل اولئات و کلرید سدیم بین اعداد حاصل از آزمایش و اعداد

میزان ترکیبات فنولی کل

اثر پیش تیمارهای مختلف بر میزان مواد فنلی کل در نمونه‌های آنزیم‌بری نشده

از تجزیه و تحلیل آماری داده‌ها به منظور تعیین مناسب بودن مدل تجربی بکار رفته (مدل درجه دوم)، استفاده شد. نتایج اثرات مستقل و متقابل پیش تیمارهای مختلف را بر میزان مواد فنلی در نمونه‌های آنزیم‌بری نشده و خشک شده، معنی‌دار بودن مدل ($p < 0/05$) و عدم

Y: مواد فنلی کل؛ X₁: محلول اتیل‌اولئات؛ X₂: محلول کلریدسدیم.

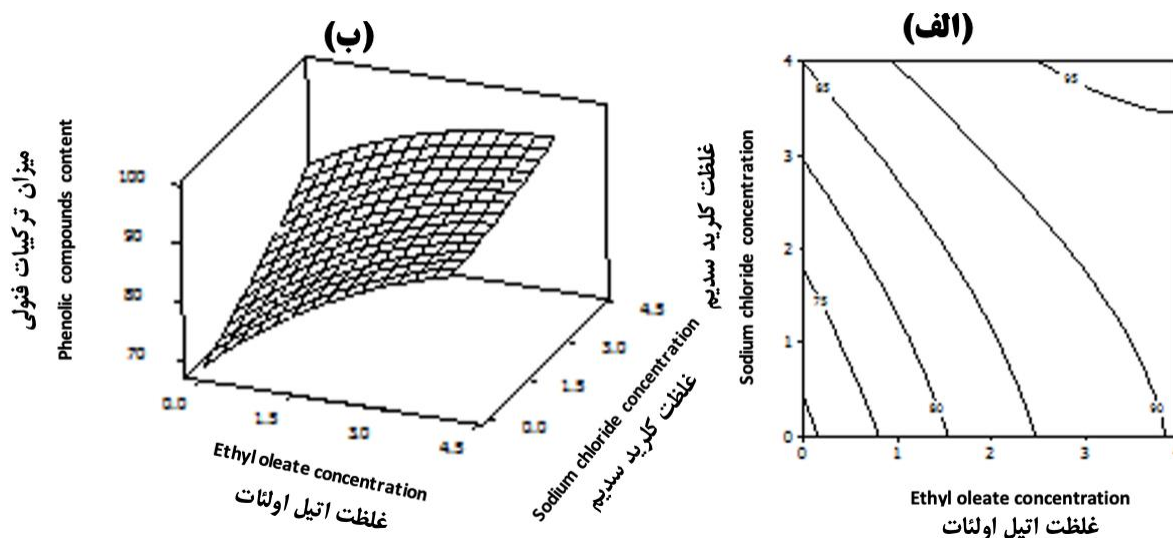
شکل ۷ اثر همزمان غلظت‌های محلول اتیل‌اولئات و کلریدسدیم بر میزان مواد فنلی باقی‌مانده در فلفل سبز پس از خشک شدن در خشک‌کن تحت خلأ را نشان می‌دهد. مطابق شکل (۷-الف) با توجه به اثر بیشتر اتیل‌اولئات مشاهده می‌گردد که با افزایش سطوح محلول اتیل‌اولئات و افزایش میزان کلریدسدیم مقدار ترکیب فنلی باقی‌مانده دارای حداکثر مقدار با میزان ۹۵/۷۵ است که مربوط به تیمار با غلظت ۴٪ اتیل‌اولئات و ۴٪ نمک طعام بود و شیب منحنی نشان می‌دهد که اثر اتیل‌اولئات بیشتر از نمک طعام است؛ بطوریکه در تیماری با غلظت ۴٪ اتیل‌اولئات و ۰٪ نمک مقدار ترکیبات فنلی دارای ۹۲/۵۸ بوده در حالیکه عکس این غلظت‌ها به میزان ۵۸/۴۸ بوده که تقریباً اثر نمک طعام نصف اثر اتیل‌اولئات بوده است. مطابق شکل (۷-ب) با توجه به اثر بیشتر اتیل‌اولئات مشاهده می‌گردد که با افزایش سطوح محلول اتیل‌اولئات و افزایش میزان کلریدسدیم مقدار ترکیب فنلی باقی‌مانده دارای حداکثر مقدار هستند.

پیش‌بینی شده توسط مدل وجود داشت ($R^2 = 0/9903$) و همچنین میزان $adj-R^2$ (ضریب تبیین تعدیل شده) محاسبه شده برای مدل ۰/۹۸۳۴ می‌باشد که می‌توان نتیجه گرفت که نتایج حاصل با مدل آزمایشی مورد استفاده مطابقت دارد.

در ادامه با بکارگیری آنالیز رگرسیون مدل درجه دوم در داده‌های آزمایشی برای پیش‌بینی رابطه بین متغیرهای مستقل و متغیر وابسته پس از حذف ضرایب بی‌معنی و در سطح ۹۵ درصد رابطه (۱۱) توسط نرم‌افزار دیزاین اکسپرت ارائه شده است. رابطه (۱۱) نیز نشان داد که جملات مربوط به اثرات درجه اول، تأثیر مثبت محلول اتیل‌اولئات (X₁) و محلول کلریدسدیم (X₂) بر میزان مواد فنلی در نمونه‌های آنزیم‌بری نشده داشتند و جملات مربوط به اثر درجه دوم X_1^2 و اثر متقابل (X_1X_2) تأثیر منفی بر میزان مواد فنلی در نمونه‌های آنزیم‌بری نشده داشت.

(رابطه ۱۱)

$$Y = 35/4595 + 18/7999 X_1 + 6/8257 X_2 - 1/1579 X_1^2 - 1/1312 X_1X_2$$



شکل ۷- اثر متقابل محلول اتیل‌اولئات و کلریدسدیم بر میزان ترکیبات فنلی نمونه‌های آنزیم‌بری نشده با استفاده از: (الف) نمودار کانتور دو بعدی؛ و (ب) نمودار سطح پاسخ سه بعدی

Fig. 7- The interaction of ethyl oleate and sodium chloride solution on the phenolic compounds content of non-bleached samples: a) two-dimensional line diagram. and (b) 3D response surface plot.

آنزیم‌بری شده و خشک شده، معنی‌دار بودن مدل ($p < 0/05$) و عدم معنی‌دار بودن عدم برآزش ($p > 0/05$) نشان دهنده توانایی خوب مدل موجود در برآزش داده‌های تجربی این آزمایش است. مطابق با آنالیز آماری از بین متغیرهای تأثیرگذار بر میزان مواد فنلی، اثر خطی محلول اتیل‌اولئات (X₁) و کلریدسدیم (X₂)، همچنین جملات مربوط به اثر

اثر پیش‌تیمارهای مختلف بر میزان مواد فنلی کل در نمونه‌های آنزیم‌بری شده

از تجزیه و تحلیل آماری داده‌ها به‌منظور تعیین مناسب بودن مدل تجربی بکار رفته (مدل درجه دوم)، استفاده شد. نتایج اثرات مستقل و متقابل پیش‌تیمارهای مختلف را بر میزان مواد فنلی در نمونه‌های

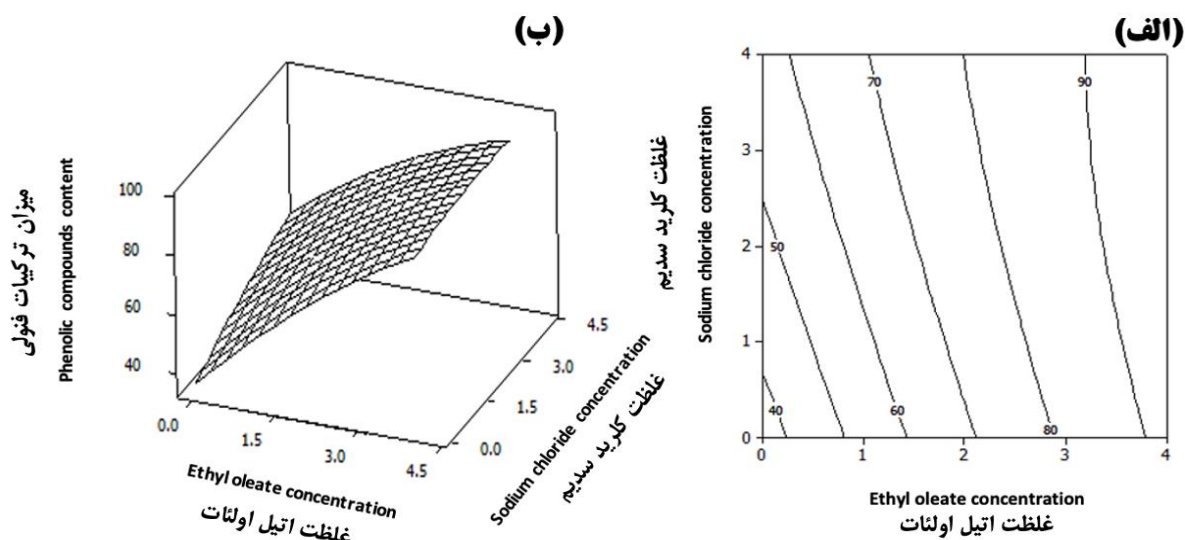
$$Y = 26/0.994 + 2/6949 X_1 - 0/7344 X_2 - 0/0935 X_1^2 + 0/1091 X_1 X_2$$

Y: اسیدآسکوربیک؛ X_1 : محلول اتیل اولئات؛ X_2 : محلول کلرید سدیم.

شکل ۸ اثر متقابل غلظت محلول اتیل اولئات و کلرید سدیم بر میزان ترکیبات فنولی نمونه‌های آنزیم‌بری و خشک شده را نشان می‌دهد. همانطور که در شکل (الف) و (ب) مشاهده می‌شود با افزایش غلظت محلول اتیل اولئات به ۴٪ و محلول کلرید سدیم از ۰ تا ۴٪ میزان ترکیبات فنولی باقی‌مانده در نمونه‌های تیمار شده افزایش می‌یابد. ضمن اینکه میزان تأثیر اتیل اولئات به مراتب بیشتر از نمک طعام بوده و کمترین میزان ترکیبات فنولی باقی‌مانده مربوط به تیمار کنترل بوده است. مقایسه اثر آنزیم‌بری و عدم انجام آنزیم‌بری در میزان ترکیبات فنولی باقی‌مانده نشان داد در تمامی نمونه‌های آنزیم‌بری شده ترکیبات فنولی کمتری نسبت به نمونه‌های آنزیم‌بری نشده وجود دارند؛ چرا که حرارت آنزیم‌بری موجب تخریب مواد مغذی می‌شود. با این حال ترکیبات فنولی نسبت به ویتامین ث، در برابر حرارت مقاوم‌تر هستند و تحت فرآیند آنزیم‌بری کمتر آسیب می‌بینند.

درجه دوم $X_1 X_2$ و اثرات متقابل $(X_1 X_2)$ بر میزان مواد فنولی اثر معنی داری داشتند ($p < 0/05$). همبستگی بالایی در استفاده از غلظت‌های محلول اتیل اولئات و کلرید سدیم بین اعداد حاصل از آزمایش و اعداد پیش‌بینی شده توسط مدل وجود داشت ($R^2 = 0/9927$) و همچنین میزان $adj-R^2$ (ضریب تبیین تعدیل شده) محاسبه شده برای مدل، ۰/۹۸۷۴ می‌باشد که می‌توان نتیجه گرفت که نتایج حاصل با مدل آزمایشی مورد استفاده مطابقت دارد.

با بکارگیری آنالیز رگرسیون مدل درجه دوم در داده‌های آزمایشی برای پیش‌بینی رابطه بین متغیرهای مستقل و متغیر وابسته پس از حذف ضرایب بی‌معنی و در سطح ۹۵ درصد رابطه (۱۲) توسط نرم‌افزار دیزاین اکسپرت ارائه شده است. رابطه (۱۲) نیز نشان داد که جملات مربوط به اثرات درجه اول، تأثیر مثبت محلول اتیل اولئات (X_1) و تأثیر منفی محلول کلرید سدیم (X_2) بر میزان مواد فنولی در نمونه‌های آنزیم‌بری شده داشتند و جملات مربوط به اثر درجه دوم X_1^2 ، تأثیر منفی و اثر متقابل ($X_1 X_2$)، تأثیر مثبت بر میزان مواد فنولی در نمونه‌های آنزیم‌بری شده داشت. (رابطه ۱۲)



شکل ۸- اثر متقابل محلول اتیل اولئات و کلرید سدیم بر میزان ترکیبات فنولی نمونه‌های آنزیم‌بری شده با استفاده از: (الف) نمودار کانتور دو بعدی؛ و (ب) نمودار سطح پاسخ سه بعدی

Fig. 8- The interaction of ethyl oleate and sodium chloride solution on the phenolic compounds content of blanched samples: a) two-dimensional line diagram. and (b) 3D response surface plot

اثر پیش تیمارهای مختلف بر میزان کلروفیل در نمونه‌های آنزیم‌بری نشده

میزان کلروفیل

و محلول کلریدسدیم (X_2) بر میزان کلروفیل در نمونه‌های آنزیم‌بری نشده داشتند و جملات مربوط به اثر درجه دوم X_1^2 تأثیر منفی و اثر درجه دوم X_2^2 تأثیر مثبت، و اثر متقابل (X_1X_2) تأثیر منفی بر میزان کلروفیل در نمونه‌های آنزیم‌بری نشده داشت.

(رابطه ۱۳)

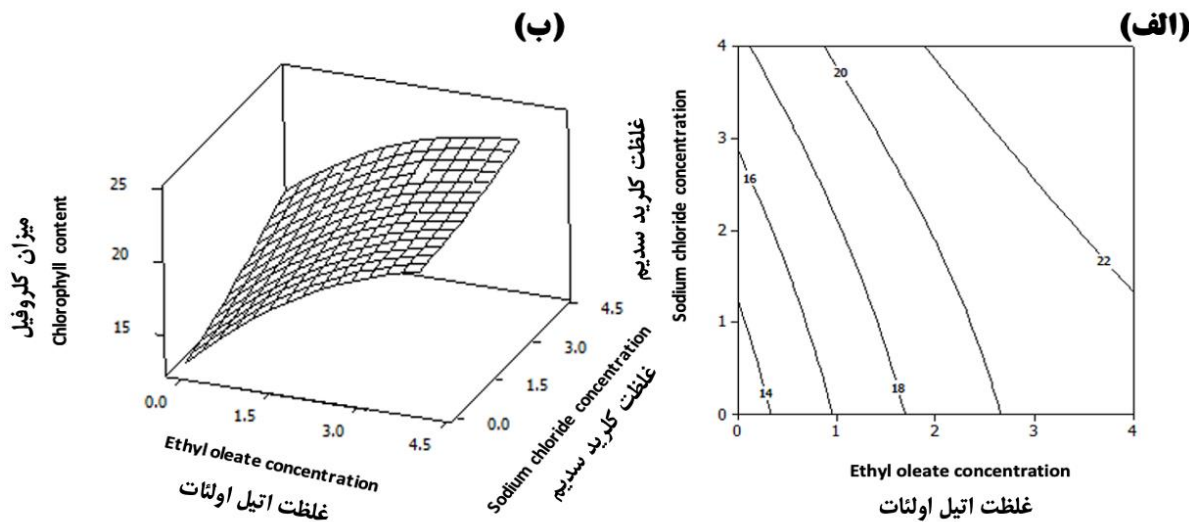
$$Y = 12/7661 + 3/7426 X_1 + 0/8810 X_2 - 0/3827 X_1^2 + 0/844 X_2^2 - 0/1756 X_1X_2$$

Y: کلروفیل؛ X_1 : محلول اتیل‌اولئات؛ X_2 : محلول کلریدسدیم.

شکل ۹ اثر متقابل غلظت محلول اتیل‌اولئات و کلریدسدیم بر میزان ترکیبات فنولی نمونه‌های آنزیم‌بری نشده و خشک شده تحت خلأ را نشان می‌دهد. مطابق با شکل (۹-الف) بیشترین مقدار (۲۳/۶) کلروفیل باقی‌مانده در نمونه‌های پیش تیمار شده با غلظت ۴٪ اتیل اولئات و ۴٪ نمک طعام می‌باشد و کمترین مقدار مربوط به نمونه‌های کنترل با میزان ۱۲/۹ می‌باشد. شیب منحنی نشان می‌دهد که اثر اتیل-اولئات به مراتب بیشتر از نمک طعام است. همچنین در شکل (۹-ب) مشاهده گردید که تأثیر اتیل‌اولئات بیشتر از نمک طعام در میزان کلروفیل باقی‌مانده نمونه‌های آنزیم‌بری نشده و خشک شده داشته است.

از تجزیه و تحلیل آماری داده‌ها به‌منظور تعیین مناسب بودن مدل تجربی بکار رفته (مدل درجه دوم)، استفاده شد. نتایج اثرات مستقل و متقابل پیش تیمارهای مختلف را بر میزان کلروفیل در نمونه‌های آنزیم‌بری نشده و خشک شده، معنی‌دار بودن مدل ($p < 0/05$) و عدم معنی‌دار بودن عدم برآزش ($p > 0/05$) نشان دهنده توانایی خوب مدل موجود در برآزش داده‌های تجربی این آزمایش است. مطابق با آنالیز آماری از بین متغیرهای تأثیرگذار بر میزان کلروفیل، اثر خطی محلول اتیل‌اولئات (X_1) و کلریدسدیم (X_2)، همچنین جملات مربوط به اثرات درجه دوم X_1^2 و X_2^2 و اثرات متقابل (X_1X_2) بر میزان کلروفیل اثر معنی‌داری داشتند ($p < 0/05$). همبستگی بالایی در استفاده از غلظت‌های محلول اتیل‌اولئات و کلریدسدیم بین اعداد حاصل از آزمایش و اعداد پیش‌بینی شده توسط مدل وجود داشت ($R^2 = 0/9969$) و همچنین میزان $adj-R^2$ (ضریب تبیین تعدیل شده) محاسبه شده برای مدل، ۰/۹۹۴۸ می‌باشد که می‌توان نتیجه گرفت که نتایج حاصل با مدل آزمایشی مورد استفاده مطابقت دارد.

در ادامه با بکارگیری آنالیز رگرسیون مدل درجه دوم در داده‌های آزمایشی برای پیش‌بینی رابطه بین متغیرهای مستقل و متغیر وابسته پس از حذف ضرایب بی‌معنی و در سطح ۹۵ درصد رابطه (۱۳) توسط نرم‌افزار دیزاین اکسپرت ارائه شده است. رابطه (۱۳) نیز نشان داد که جملات مربوط به اثرات درجه اول، تأثیر مثبت محلول اتیل‌اولئات (X_1)



شکل ۹- اثر متقابل محلول اتیل‌اولئات و کلریدسدیم بر میزان کلروفیل نمونه‌های آنزیم‌بری نشده با استفاده از: (الف) نمودار دو کانتور دو بعدی؛ و (ب) نمودار سطح پاسخ سه بعدی

Fig. 9- The interaction of ethyl oleate and sodium chloride solution on the chlorophyll content of non-blanch samples: a) two-dimensional line diagram, and (b) 3D response surface plot

اثر پیش تیمارهای مختلف بر میزان کلروفیل در نمونه‌های آنزیم‌بری شده

از تجزیه و تحلیل آماری داده‌ها به منظور تعیین مناسب بودن مدل تجربی بکار رفته (مدل درجه دوم)، استفاده شد. نتایج اثرات مستقل و متقابل پیش تیمارهای مختلف را بر میزان کلروفیل در نمونه‌های آنزیم‌بری شده و خشک شده، معنی‌دار بودن مدل ($p < 0/05$) و عدم معنی‌دار بودن عدم برازش ($p > 0/05$) نشان دهنده توانایی خوب مدل موجود در برازش داده‌های تجربی این آزمایش است. مطابق با آنالیز آماری از بین متغیرهای تأثیرگذار بر میزان کلروفیل، اثر خطی محلول اتیل اولئات (X_1) و کلریدسدیم (X_2)، همچنین جملات مربوط به اثر درجه دوم X_1^2 و اثرات متقابل (X_1X_2) بر میزان کلروفیل اثر معنی‌داری داشتند ($p < 0/05$). همبستگی بالایی در استفاده از غلظت‌های محلول اتیل اولئات و کلریدسدیم بین اعداد حاصل از آزمایش و اعداد پیش‌بینی شده توسط مدل وجود داشت ($R^2 = 0/9904$) و همچنین میزان $adj-R^2$ (ضریب تبیین تعدیل شده) محاسبه شده برای مدل، $0/9836$ می‌باشد که می‌توان نتیجه گرفت که نتایج حاصل با مدل آزمایشی مورد استفاده مطابقت دارد.

با بکارگیری آنالیز رگرسیون مدل درجه دوم در داده‌های آزمایشی برای پیش‌بینی رابطه بین متغیرهای مستقل و متغیر وابسته پس از حذف ضرایب بی‌معنی و در سطح ۹۵ درصد رابطه (۱۴) توسط نرم‌افزار دیزاین اکسپرت ارائه شده است. رابطه (۱۴) نیز نشان داد که جملات مربوط به اثرات درجه اول، تأثیر مثبت محلول اتیل اولئات (X_1) و محلول کلریدسدیم (X_2) بر میزان کلروفیل در نمونه‌های آنزیم‌بری شده داشتند و جملات مربوط به اثر درجه دوم X_1^2 و اثر متقابل (X_1X_2)، تأثیر منفی بر میزان کلروفیل در نمونه‌های آنزیم‌بری شده داشت.

(رابطه ۱۴)

$$Y = 9/93540 + 1/90489 X_1 + 1/10198 X_2 - 0/12183 X_1^2 - 0/17612 X_1X_2$$

Y: میزان کلروفیل؛ X_1 : محلول اتیل اولئات؛ X_2 : محلول کلریدسدیم.

شکل ۱۰ اثر متقابل غوطه‌وری در غلظت‌های مختلف محلول اتیل اولئات و کلریدسدیم بر میزان کلروفیل نمونه‌های آنزیم‌بری شده و خشک شده را نشان می‌دهد. مطابق با شکل (۱۰-الف) بیشترین مقدار کلروفیل باقی‌مانده در نمونه‌های آنزیم‌بری و پیش تیمار شده با غلظت ۴٪ اتیل اولئات و ۴٪ نمک طعام می‌باشد و کمترین مقدار مربوط به نمونه‌های کنترل با میزان ۹/۶ می‌باشد. همچنین مطابق شکل (۱۰-ب) با افزایش غلظت محلول اتیل اولئات و کلریدسدیم میزان کلروفیل نمونه‌ها افزایش می‌یابد.

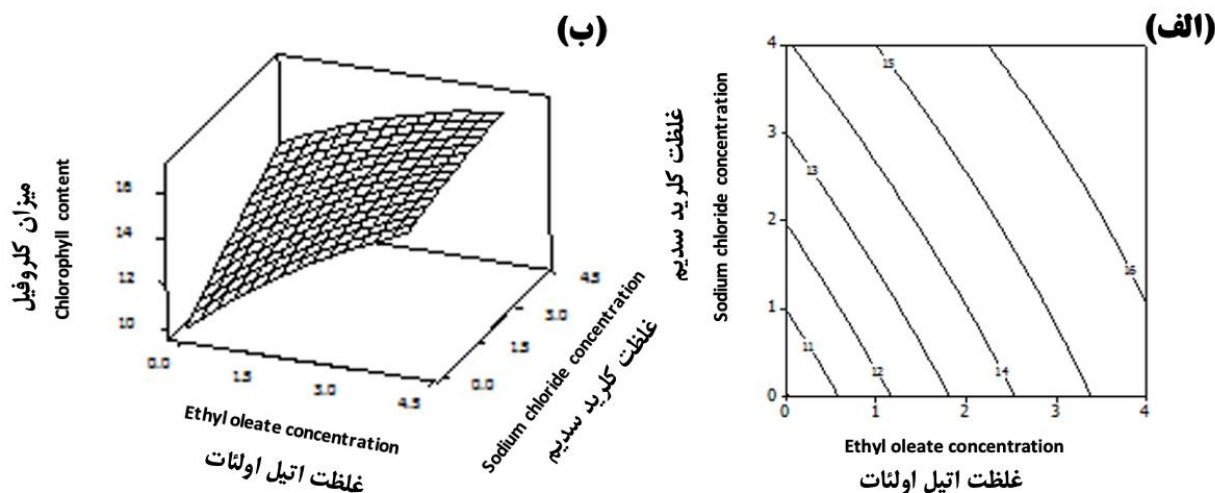
گرما و اکسیداسیون طی خشک کردن باعث ایجاد تغییرات شیمیایی در رنگدانه‌های کلروفیل و کارتنوئیدها می‌شود. معمولاً زمان‌های طولانی‌تر و درجه حرارت بالاتر خشک کردن اتلاف بیشتر رنگدانه‌ها را به همراه دارد. اعداد بدست آمده برای میزان کلروفیل نشان می‌دهد که محدوده تغییرات بسیار گسترده نمی‌باشد که این نشان دهنده مقاومت کلروفیل در مقابل فرآیندهای انجام یافته می‌باشد. بطور کلی محلول اتیل اولئات به میزان چشمگیری سرعت خشک کردن را افزایش داده در نتیجه نمونه کمتر در معرض دمای بالای خشک کردن قرار گرفته و مقدار بیشتری از رنگدانه کلروفیل خود را حفظ می‌کند.

بطور کلی روند تغییرات کلروفیل هم در نمونه‌های آنزیم‌بری شده و هم نمونه‌های آنزیم‌بری نشده در محدوده کمتری صورت می‌گیرد، ولی در مقایسه اعمال فرآیند آنزیم‌بری موجب تخریب رنگدانه سبز کلروفیل و تبدیل آن به فئوفیتین و زیتونی و تیره شدن رنگ فلفل می‌گردد بنابراین در مقایسه با نمونه‌های آنزیم‌بری نشده مقدار کلروفیل کمتری باقی می‌ماند.

تغییرات رنگ

اثر پیش تیمارهای مختلف بر میزان تغییرات رنگ در نمونه‌های آنزیم‌بری نشده

از تجزیه و تحلیل آماری داده‌ها به منظور تعیین مناسب بودن مدل تجربی بکار رفته (مدل درجه دوم)، استفاده شد. نتایج اثرات مستقل و متقابل پیش تیمارهای مختلف را بر میزان تغییرات رنگ در نمونه‌های آنزیم‌بری نشده و خشک شده، معنی‌دار بودن مدل ($p < 0/05$) و عدم معنی‌دار بودن عدم برازش ($p > 0/05$) نشان دهنده توانایی خوب مدل موجود در برازش داده‌های تجربی این آزمایش است. مطابق با آنالیز آماری از بین متغیرهای تأثیرگذار بر میزان تغییرات رنگ، اثر خطی محلول اتیل اولئات (X_1) و کلریدسدیم (X_2)، همچنین جملات مربوط به اثرات درجه دوم X_1^2 و X_2^2 بر میزان تغییرات رنگ اثر معنی‌داری داشتند ($p < 0/05$). با توجه نتایج آنالیز اثرات متقابل (X_1X_2) بر میزان تغییرات رنگ اثر معنی‌داری نداشتند ($p > 0/05$). همبستگی بالایی در استفاده از غلظت‌های محلول اتیل اولئات و کلریدسدیم بین اعداد حاصل از آزمایش و اعداد پیش‌بینی شده توسط مدل وجود داشت ($R^2 = 0/9996$) و همچنین میزان $adj-R^2$ (ضریب تبیین تعدیل شده) محاسبه شده برای مدل، $0/9993$ می‌باشد که می‌توان نتیجه گرفت که نتایج حاصل با مدل آزمایشی مورد استفاده مطابقت دارد.



شکل ۱۰- اثر متقابل محلول اتیل‌اولئات و کلریدسدیم بر میزان کلروفیل نمونه‌های آنزیم‌بری شده با استفاده از: (الف) نمودار کانتور دو بعدی؛ و (ب) نمودار سطح پاسخ سه بعدی

Fig. 10- The interaction of ethyl oleate and sodium chloride solution on the chlorophyll content of blanched samples: a) two-dimensional line diagram. and (b) 3D response surface plot

خشک کردن، خصوصیات سطحی ماده غذایی را تغییر می‌دهد. در نتیجه خاصیت انعکاس نور و رنگ نیز تغییر می‌کند. نمونه‌های پیش تیمار شده با محلول اتیل‌اولئات رنگ روشن‌تر و شفاف‌تری از سایر نمونه‌ها دارند. مطابق نتایج حاصل از تحقیقات دویماز و پالا (Doymaz and Pala, 2002) که بر روی فلفل قرمز انجام گردیده به وضوح افزایش ۱۶ درصد در روشنایی و ۸۰/۸ درصد در شدت رنگ قرمز برای نمونه‌های غوطه‌ور شده در محلول ۲ درصد اتیل‌اولئات و ۵ درصد کربنات پتاسیم مشاهده شده است.

اثر پیش‌تیمارهای مختلف بر میزان تغییرات رنگ در نمونه‌های آنزیم‌بری شده

از تجزیه و تحلیل آماری داده‌ها به منظور تعیین مناسب بودن مدل تجربی بکار رفته (مدل درجه دوم)، استفاده شد. نتایج اثرات مستقل و متقابل پیش‌تیمارهای مختلف را بر میزان تغییرات رنگ در نمونه‌های آنزیم‌بری شده و خشک شده، معنی‌دار بودن مدل ($p < 0.05$) و عدم معنی‌دار بودن عدم برازش ($p > 0.05$) نشان دهنده توانایی خوب مدل موجود در برازش داده‌های تجربی این آزمایش است. مطابق با آنالیز آماری از بین متغیرهای تأثیرگذار بر میزان تغییرات رنگ، اثر خطی محلول اتیل‌اولئات (X_1) و کلریدسدیم (X_2)، همچنین جملات مربوط به اثر درجه دوم X_2^2 و اثر متقابل (X_1X_2) بر میزان تغییرات رنگ اثر معنی‌داری داشتند ($p < 0.05$).

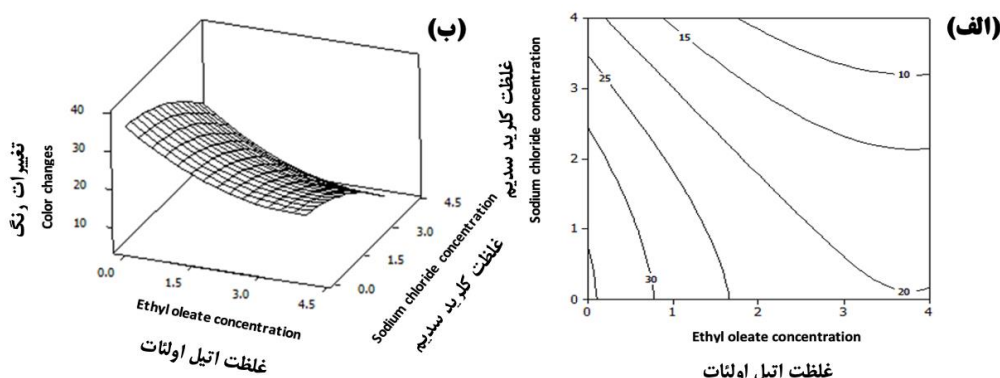
در ادامه با بکارگیری آنالیز رگرسیون مدل درجه دوم در داده‌های آزمایشی برای پیش‌بینی رابطه بین متغیرهای مستقل و متغیر وابسته پس از حذف ضرایب بی‌معنی و در سطح ۹۵ درصد رابطه (۱۵) توسط نرم‌افزار دیزاین اکسپرت ارائه شده است. رابطه (۱۵) نیز نشان داد که جملات مربوط به اثرات درجه اول، تأثیر مثبت (کاهش تغییرات رنگ) محلول اتیل‌اولئات (X_1) و محلول کلریدسدیم (X_2) بر میزان تغییرات رنگ در نمونه‌های آنزیم‌بری نشده داشتند و جملات مربوط به اثر درجه دوم X_1^2 تأثیر منفی (افزایش تغییرات رنگ) و اثر درجه دوم X_2^2 تأثیر مثبت (کاهش تغییرات رنگ)، و اثر متقابل (X_1X_2) تأثیر مثبت (کاهش تغییرات رنگ) بر میزان تغییرات رنگ در نمونه‌های آنزیم‌بری نشده داشت.

(رابطه ۱۵)

$$Y = 35/1953 - 1/4154 X_1 - 0.5937 X_2 + 1/1205 X_1^2 - 0.7375 X_2^2 - 0.0563 X_1X_2$$

Y: تغییرات رنگ؛ X_1 : محلول اتیل‌اولئات؛ X_2 : محلول کلریدسدیم.

شکل ۱۱ اثر غوطه‌وری در غلظت‌های مختلف محلول کلریدسدیم و اتیل‌اولئات بر تغییرات رنگ نمونه‌های خشک شده فلفل‌دلمه‌ای را نشان می‌دهد. مطابق با شکل (۱۱-الف) بیشترین تغییرات رنگ مربوط به نمونه کنترل با میزان ۳۶/۰۱ و کمترین میزان تغییرات رنگ مربوط به نمونه‌ای با میزان ۴٪ اتیل‌اولئات و ۴٪ نمک طعام با مقدار ۴/۹۴ می‌باشد. در شکل (۱۱-ب) مشاهده گردید که با افزایش غلظت محلول کلریدسدیم و اتیل‌اولئات تغییرات رنگ نسبت به نمونه کنترل که در همان شرایط بدون پیش‌تیمار خشک گردیده کاهش می‌یابد.



شکل ۱۱- اثر متقابل محلول اتیل اولئات و کلرید سدیم بر میزان تغییرات رنگ نمونه‌های آنزیم‌بری نشده با استفاده از: (الف) نمودار کانتور دو بعدی؛ و (ب) نمودار سطح پاسخ سه بعدی

Fig. 11- The interaction of ethyl oleate and sodium chloride solution on the chlorophyll content of non-blanching samples: a) two-dimensional line diagram. and (b) 3D response surface plot

نمونه‌هایی با غلظت ۴٪ اولئات و ۰٪ نمک طعام با میزان تغییرات رنگ ۲۸ و نمونه‌ای با میزان غلظت ۰٪ اولئات و ۴٪ نمک طعام دارای مقداری برابر با ۳۱/۵۲ است. همچنین با توجه به شکل (۱۲-ب) با افزایش غلظت محلول اتیل اولئات و کلرید سدیم کاهش تغییرات رنگ نمونه‌ها نسبت به نمونه کنترل مشاهده گردید.

در مطالعه‌ای که توسط زیرجانی و توکلی پور (Zirjani and Tavakolipour, 2010) در مورد تأثیر پیش‌فرآیندهای مختلف بر خشک کردن موز توسط مایکروویو انجام شد، مشاهده نتایج نشان داد که تحت شرایط مشابه برش‌های تیمار شده نسبت به برش‌های تیمار نشده تغییر رنگ کمتری را نشان می‌دهند. تیمار متابی‌سولفیت سدیم با آنزیم‌های تغییر دهنده رنگ و عوامل ایجاد کننده رنگ در قهوه‌ای شدن غیرآنزیمی واکنش داده و از ایجاد رنگ جلوگیری می‌کند و نیز اسیدآسکوربیک و اسید سیتریک به ترتیب با مصرف سریع اکسیژن و کاهش pH باعث غیرفعال شدن آنزیم‌ها می‌شوند. مقایسه عمل آنزیم‌بری با عدم انجام عمل آنزیم‌بری نشان می‌دهد که آنزیم‌بری باعث تیره شدن رنگ اولیه نمونه‌ها می‌گردد. به عبارتی انجام پیش تیمار آنزیم‌بری قبل از خشک کردن، باعث افزایش سرعت خشک کردن می‌شود، یعنی در زمان ثابت خشک کردن رطوبت بیشتری از نمونه‌ها خارج می‌گردد بنابراین در تمامی موارد نمونه‌های آنزیم‌بری نشده از رنگ مطلوب تری نسبت به نمونه‌های آنزیم‌بری شده برخوردارند. آلزامورا و همکاران (Alzamora et al., 2000) (در پژوهش خود نشان داد که در میوه‌های با رنگ روشن تر، به دلیل خارج شدن هوا از بافت در مرحله خلأ و کاهش غلظت اکسیژن حساسیت نسبت به قهوه‌ای شدن آنزیمی کاهش یافته و میوه‌ها رنگ طبیعی تری خواهند داشت.

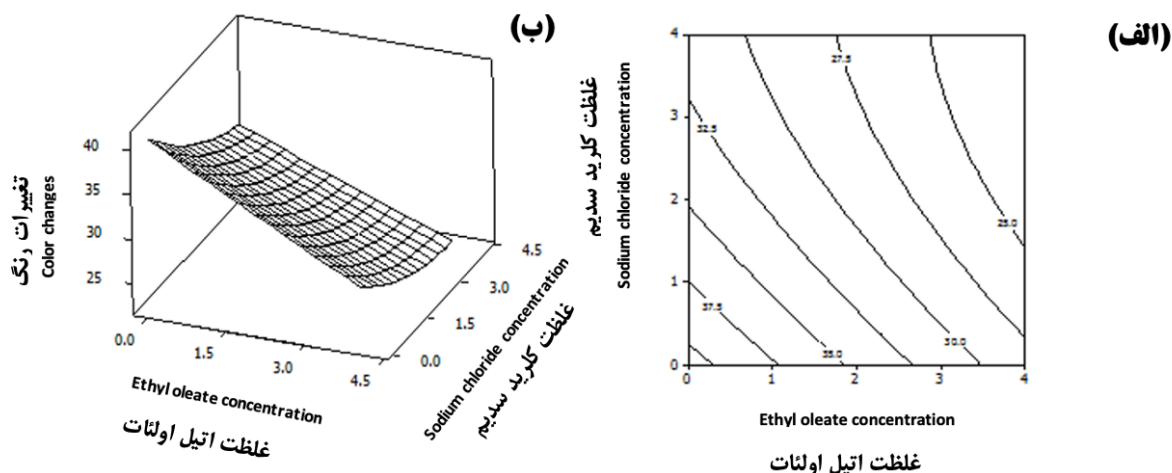
با توجه نتایج آنالیز اثر درجه دوم X_1^2 بر میزان تغییرات رنگ معنی‌داری نداشتند ($p > 0.05$). همبستگی بالایی در استفاده از غلظت های محلول اتیل اولئات و کلرید سدیم بین اعداد حاصل از آزمایش و اعداد پیش‌بینی شده توسط مدل وجود داشت ($R^2 = 0.9995$) و همچنین میزان $adj-R^2$ (ضریب تبیین تعدیل شده) محاسبه شده برای مدل ۰/۹۹۹۱ می‌باشد که می‌توان نتیجه گرفت که نتایج حاصل با مدل آزمایشی مورد استفاده مطابقت دارد.

در ادامه با بکارگیری آنالیز رگرسیون مدل درجه دوم در داده‌های آزمایشی برای پیش‌بینی رابطه بین متغیرهای مستقل و متغیر وابسته پس از حذف ضرایب بی‌معنی و در سطح ۹۵ درصد رابطه (۱۶) توسط نرم‌افزار دیزاین اکسپرت ارائه شده است. رابطه (۱۶) نیز نشان داد که جملات مربوط به اثرات درجه اول، تأثیر مثبت (کاهش تغییرات رنگ) محلول اتیل اولئات (X_1) و محلول کلرید سدیم (X_2) بر میزان تغییرات رنگ در نمونه‌های آنزیم‌بری شده داشتند و جملات مربوط به اثر درجه دوم X_2^2 و اثر متقابل (X_1X_2) تأثیر منفی (افزایش تغییرات رنگ) بر میزان تغییرات رنگ در نمونه‌های آنزیم‌بری شده داشت.

(رابطه ۱۶)

$$Y = 40.9054 - 3.2482 X_1 - 3.7694 X_2 + 0.3597 X_2^2 + 0.2174 X_1X_2$$

Y: تغییرات رنگ؛ X_1 : محلول اتیل اولئات؛ X_2 : محلول کلرید سدیم. مطابق شکل ۱۲ افزایش غلظت محلول اتیل اولئات و کلرید سدیم باعث کاهش تغییرات رنگ نمونه‌ها نسبت به نمونه کنترل می‌شوند؛ با توجه به شکل (۱۲-الف) شیب نمودار اثر کلرید سدیم در کاهش رنگ بیشتر از اثر اتیل اولئات می‌باشد که مقایسه نمونه با غلظت ۴٪ اتیل اولئات و ۴٪ نمک طعام دارای کمترین تغییرات رنگ بوده و مقایسه



شکل ۱۲- اثر متقابل غلظت محلول اتیل‌اولئات و کلرید سدیم بر تغییرات رنگ نمونه‌های آنزیم‌بری شده با استفاده از: (الف) نمودار کانتور دو بعدی؛ و (ب) نمودار سطح پاسخ سه بعدی

Fig. 10- The interaction of ethyl oleate and sodium chloride solution on the chlorophyll content of blanched samples: a) two-dimensional line diagram. and (b) 3D response surface plot

نتایج بدست آمده با تابعیت مطلوب، مورد ارزیابی قرار گرفتند که تابعیت مطلوب بالاتر از ۰/۷ بیانگر شرایط بهینه است. جدول ۴ نتایج بهینه سازی گروه آنزیم‌بری شده را با حداکثر مطلوبیت نشان می‌دهد و همانطور که مشاهده می‌گردد با استفاده از غلظت محلول ۰/۴ اتیل‌اولئات و ۴٪ کلرید سدیم مطلوبیت کل پارامترها با میزان ۰/۹۹۶۱ مؤید شرایط بهینه‌سازی می‌باشد.

بهینه‌سازی

مدل‌های برازش استفاده شده برای جهت بهینه‌سازی در نمونه‌های تیمار شده با غلظت‌های متفاوت محلول اتیل‌اولئات و کلرید سدیم، نمونه‌هایی که دارای بیشترین مقدار کلروفیل، اسیدآسکوربیک، ترکیبات فنولی و کمترین میزان تغییرات رنگ را دارا بودند در نظر گرفته شد.

جدول ۴- ویژگی‌های بهینه مدل انتخاب شده در دو گروه آنزیم‌بری شده و آنزیم‌بری نشده

Table 4- The optimal characteristics of the selected model in two groups of blanched and non-blanched

Factor پارامتر	Blanched sample	non-blanched sample
	نمونه‌های آنزیم‌بری شده	نمونه‌های آنزیم‌بری نشده
	the target limit	the target limit
Ascorbic acid اسیدآسکوربیک	38.2781	39.9294
Phenolic compounds ترکیبات فنولی	96.2959	94.7895
Chlorophyll کلروفیل	16.7804	23.6784
Color changes تغییرات رنگ	22.5464	5.0852
Total acceptability مطلوبیت کل	0.9961	0.8832

صورت مستقل و متقابل با استفاده از روش سطح پاسخ بر پارامترهای فیزیکی، شیمیایی و سینتیک خشک کردن نمونه‌های فلفل دلمه‌ای، به شرح زیر می‌باشد:

نتیجه‌گیری

نتایج حاصل از بررسی اثر پیش تیمارهای آنزیم‌بری، غوطه‌وری در محلول کلرید سدیم و غوطه‌وری در محلول قلیایی اتیل‌اولئات، به

ث و کلروفیل در برابر حرارت مقاوم‌تر هستند و تحت فرآیند آنزیم‌بری کمتر آسیب می‌بینند. نتایج بدست آمده برای میزان کلروفیل نشان می‌دهد که محدوده تغییرات بسیار گسترده نبوده است. بطور کلی روند تغییرات کلروفیل هم در نمونه‌های آنزیم‌بری شده و هم نمونه‌های بدون آنزیم‌بری در محدوده کمتری صورت می‌گیرد.

مقایسه عمل آنزیم‌بری با عدم انجام عمل آنزیم‌بری نشان می‌دهد که آنزیم‌بری باعث تیره شدن رنگ اولیه نمونه‌ها می‌گردد. بنابراین در تمامی موارد نمونه‌های آنزیم‌بری نشده از رنگ مطلوب‌تری نسبت به نمونه‌های آنزیم‌بری شده برخوردارند.

در نهایت، بهینه‌سازی کل به منظور دستیابی به بهترین خاصیت کیفیتی در خشک کردن نمونه‌ها، تحت خلاء همراه با پیش تیمارهای اعمالی را این چنین نشان داد که نمونه‌های خشک شده تحت شرایط ثابت دما و فشار خشک کردن، نمونه‌های آنزیم‌بری شده و تیمار شده با غلظت ۴ درصد محلول اتیل‌اولئات و کلریدسدیم دارای مطلوب‌ترین کیفیت می‌باشند.

با توجه به منحنی‌های افت رطوبت نمونه‌های مورد آزمایش، در هیچ کدام از این منحنی‌ها دوره سرعت ثابت خشک کردن مشاهده نشد، از این رو کل فرآیند خشک کردن فلفل دلمه‌ای در محدوده سرعت نزولی اتفاق می‌افتد؛ که نشان‌دهنده اثر غالب مکانیسم نفوذپذیری بافت بر حرکت رطوبت ماده غذایی است. کاهش رطوبت در نمونه‌های آنزیم‌بری شده با سرعت بیشتری نسبت به نمونه‌های آنزیم‌بری نشده رخ می‌دهد. هم چنین در بررسی نتایج حاصله مشخص شد نمونه‌هایی که تحت تیمار غوطه‌وری در محلول اتیل‌اولئات قرار گرفته‌اند با سرعت و شدت بیشتری در دمای ثابت، خشک می‌شوند، بطوری که در نمونه‌های آنزیم‌بری شده و تیمار شده با غلظت ۴٪ اتیل‌اولئات و کلریدسدیم زمان خشک شدن حدود ۳/۵ ساعت بوده در صورتی که نمونه شاهد در طول مدت ۷/۵ ساعت تحت شرایط یکسان خشک گردید.

مقدار اسیدآسکوربیک، ترکیبات فنولی و کلروفیل باقی‌مانده در نمونه‌های آنزیم‌بری شده کمتر از نمونه‌های غیر آنزیم‌بری شده بود، علت این امر مربوط به دمای بالای فرآیند آنزیم‌بری بوده که موجب تخریب آن‌ها گردیده است. با این حال ترکیبات فنولی نسبت به ویتامین

منابع

- Chemists, A. (1990). *Official Methods of Analysis: Changes in Official...* - Google Scholar. Supplement. Association of Official Analytical Chemists.
- Alzamora, S.M., Tapia, M.S., Leunda, A., Guerrero, S.N., Rojas, A.M., Gerschenson, L.N., & Parada-Arias, E. (2000). Minimal preservation of fruits: A cited project. *Trends in Food Engineering*, 205–225.
- Arévalo-Pinedo, A., & Murr, F.E.X. (2006). Kinetics of vacuum drying of pumpkin (*Cucurbita maxima*): Modeling with shrinkage. *Journal of Food Engineering*, 76(4), 562–567. <https://doi.org/10.1016/J.JFOODENG.2005.06.003>
- Arévalo-Pinedo, A., & Xidieh Murr, F.E. (2007). Influence of pre-treatments on the drying kinetics during vacuum drying of carrot and pumpkin. *Journal of Food Engineering*, 80(1), 152–156. <https://doi.org/10.1016/J.JFOODENG.2006.05.005>
- Balzarini, M.F., Reinheimer, M.A., Ciappini, M.C., & Scenna, N.J. (2018). Comparative study of hot air and vacuum drying on the drying kinetics and physicochemical properties of chicory roots. *Journal of Food Science and Technology*, 55(10), 4067–4078. <https://doi.org/10.1007/S13197-018-3333-5/METRICS>
- Cichowska, J., Żubernik, J., Czyżewski, J., Kowalska, H., & Witrowa-Rajchert, D. (2018). Efficiency of osmotic dehydration of apples in Polyols solutions. *Molecules*, 23(2), 446. <https://doi.org/10.3390/MOLECULES23020446>
- Daood, H.G., Kapitány, J., Biacs, P., & Albrecht, K. (2006). Drying temperature, endogenous antioxidants and capsaicinoids affect carotenoid stability in paprika (red pepper spice). *Journal of the Science of Food and Agriculture*, 86(14), 2450–2457. <https://doi.org/10.1002/JSFA.2639>
- Demiray, E., & Çalışkan Koç, G. (2021). Effect of vacuum drying temperature and pressure on the drying and desorption characteristics, and lovastatin content of the oyster mushroom (*Pleurotus ostreatus*) slices. *Journal of Food Processing and Preservation*, 45(3), e15301. <https://doi.org/10.1111/JFPP.15301>
- Doymaz, I. (2004). Effect of pre-treatments using potassium metabisulphide and alkaline ethyl oleate on the drying kinetics of apricots. *Biosystems Engineering*, 89(3), 281–287. <https://doi.org/10.1016/J.BIOSYSTEMSENG.2004.07.009>
- Doymaz, I. (2006). Drying kinetics of black grapes treated with different solutions. *Journal of Food Engineering*, 76(2), 212–217. <https://doi.org/10.1016/J.JFOODENG.2005.05.009>
- Doymaz, I., & Ismail, O. (2010). Drying and rehydration behaviors of green bell peppers. *Food Science and Biotechnology*, 19(6), 1449–1455. <https://doi.org/10.1007/S10068-010-0207-7/METRICS>
- Doymaz, I., & Pala, M. (2002). Hot-air drying characteristics of red pepper. *Journal of Food Engineering*, 55(4), 331–335. [https://doi.org/10.1016/S0260-8774\(02\)00110-3](https://doi.org/10.1016/S0260-8774(02)00110-3)

13. Kaymak-Ertekin, F. (2002). Drying and rehydrating kinetics of green and red peppers. *Journal of Food Science*, 67(1), 168–175. <https://doi.org/10.1111/J.1365-2621.2002.TB11378.X>
14. Lee, J., Durst, R., & International, R.W. (2005). AOAC official method: total monomeric anthocyanin pigment content of fruit juices, beverages, natural colorants, and wines by the pH differential method. *Ars.Udda.Gov*. Retrieved June 15, 2023, from <https://www.ars.usda.gov/research/publications/publication/?seqNo115=180292>
15. Lee, J.H., & Kim, H.J. (2009). Vacuum drying kinetics of Asian white radish (*Raphanus sativus* L.) slices. *LWT - Food Science and Technology*, 42(1), 180–186. <https://doi.org/10.1016/J.LWT.2008.05.017>
16. Marzuki, S.U., Pranoto, Y., Khumsap, T., & Nguyen, L.T. (2021). Effect of blanching pretreatment and microwave-vacuum drying on drying kinetics and physicochemical properties of purple-fleshed sweet potato. *Journal of Food Science and Technology*, 58(8), 2884–2895. <https://doi.org/10.1007/S13197-020-04789-5/METRICS>
17. Materska, M., & Perucka, I. (2005). Antioxidant activity of the main phenolic compounds isolated from hot pepper fruit (*Capsicum annuum* L.). *Journal of Agricultural and Food Chemistry*, 53(5), 1750–1756. <https://doi.org/10.1021/JF035331K>
18. Orikasa, T., Ono, N., Watanabe, T., Ando, Y., Shiina, T., & Koide, S. (2018). Impact of blanching pretreatment on the drying rate and energy consumption during far-infrared drying of Paprika (*Capsicum annuum* L.). *Food Quality and Safety*, 2(2), 97–103. <https://doi.org/10.1093/FQSAFE/FYY006>
19. Tunde-Akintunde, T.Y. (2010). Effect of pretreatment on drying time and quality of chilli pepper. *Journal of Food Processing and Preservation*, 34(4), 595–608. <https://doi.org/10.1111/J.1745-4549.2008.00360.X>
20. Vega-Gálvez, A., Di Scala, K., Rodríguez, K., Lemus-Mondaca, R., Miranda, M., López, J., & Perez-Won, M. (2009). Effect of air-drying temperature on physico-chemical properties, antioxidant capacity, colour and total phenolic content of red pepper (*Capsicum annuum*, L. var. Hungarian). *Food Chemistry*, 117(4), 647–653. <https://doi.org/10.1016/J.FOODCHEM.2009.04.066>
21. Yam, K.L., & Papadakis, S.E. (2004). A simple digital imaging method for measuring and analyzing color of food surfaces. *Journal of Food Engineering*, 61(1), 137–142. [https://doi.org/10.1016/S0260-8774\(03\)00195-X](https://doi.org/10.1016/S0260-8774(03)00195-X)
22. Zirjani, L., & Tavakolipour, H. (2010). The effect of different pre-processes in the process of drying bananas by microwave. *Iranian Food Science and Technology*, 6(1), 58-67.